

TABELLEN  
zur  
GESTEINSKUNDE

für

Geologen, Mineralogen, Bergleute, Chemiker,  
Landwirte und Techniker

zusammengestellt von

**Dr. G. Linck**

o. ö. Professor der Mineralogie und Geologie an der Universität Jena

Fünfte, verbesserte Auflage

Mit 8 Tafeln



Jena  
Verlag von Gustav Fischer  
1921

Verlag von Gustav Fischer in Jena.

*Die angegebenen Preise sind die im November 1921 gültigen. — Die Preise für gebundene Bücher sind bis auf weiteres unverbindlich.*

Weitere Schriften von

## Dr. Gottlob Linck

o. ö. Prof. der Mineralogie und Geologie an der Universität Jena

**Grundriß der Kristallographie.** Für Studierende u. zum Selbstunterricht. Vierte, verbesserte Auflage. Mit 486 Originalfiguren im Text und 3 farbigen, lithographischen Tafeln. VIII, 285 S. gr. 8° 1920 Mk 31.50, geb. Mk 43.50

**Zeitschrift für angewandte Chemie, 1913, Nr. 82:**

... Schon der Student sollte auf die Erwerbung gründlicher Kenntnisse in der Kristallographie hingewiesen werden, die ihn später bei seinen Arbeiten so oft fördern können. Das Lincksche Buch ist dazu ein vortreffliches Hilfsmittel, ... Es kann allen Fachgenossen bestens empfohlen werden, zumal es in der Tat zum Selbststudium sehr geeignet ist.

**Kreislaufvorgänge in der Erdgeschichte.** Rede, gehalten zur Feier der akademischen Preisverteilung in Jena am 15. Juni 1912. III, 40 S. Lex. 8° 1912 Mk 6.—

**Preußische Lehrerzeitung 1913, Nr. 5:**

Eine hochinteressante, lesenswerte Rede, in welcher der Verfasser nicht nur die Kreislaufvorgänge in der Vergangenheit des Erdballs behandelt, sondern auch Ausblicke in die Zukunft unseres Planeten tut.  
H. V.

**Goethes Verhältnis zur Mineralogie und Geognosie.** Rede, gehalten zur Feier der akademischen Preisverteilung am 16. Juni 1906. Mit Bildern von Goethe (Seidler) und Lenz und einem Briefeffaksimile. 48 S. Lex. 8° 1906 Mk 8.—

**Kölnische Zeitung vom 28. Juni 1908:**

... Eine eingehende und auf sorgsam gesammelten, zum Teil ganz neuem Material beruhende Studie. ... Alles in allem sieht man aus diesen Mitteilungen, wie beachtenswert Goethes Wirken auf diesem Gebiet der Naturwissenschaft war und daß es für Goethe-Freunde und Goethe-Forscher wie für Männer der Naturwissenschaft Interesse bieten dürfte, sich einmal näher mit Goethes Verhältnis zur Mineralogie zu beschäftigen.

**Über Wesen und Wert der Universität.** Rede, gehalten zur Feier der akademischen Preisverteilung am 19. Juni 1920 in der Stadtkirche zu Jena. 24 S. gr. 8° 1920 Mk 3.75

SINKANKAS  
RTL 028820

3.50  
ABW

# TABELLEN

zur

# GESTEINSKUNDE

für

Geologen, Mineralogen, Bergleute, Chemiker, Landwirte  
und Techniker

zusammengestellt von

**Dr. G. Linck**

o. ö. Professor der Mineralogie und Geologie an der Universität Jena

Fünfte, verbesserte Auflage

Mit 8 Tafeln



Jena  
Verlag von Gustav Fischer  
1921

~~~~~  
Alle Rechte vorbehalten  
~~~~~

## Vorwort zur ersten Auflage.

---

Die vorliegenden Tabellen entsprangen einem oft gefühlten Bedürfnis bei den Vorlesungen und Übungen des Verfassers und haben nun schon eine Reihe von Jahren, als Manuskript gedruckt, gute Dienste geleistet. Auch von Fachgenossen habe ich Gutes darüber gehört. Diese beiden Umstände haben mich veranlaßt, sie in einer durch einige Abbildungen der wichtigsten Strukturarten wenig erweiterten Form allgemein zugänglich zu machen.

Jena, im Februar 1902.

**G. Linck.**

---

## Vorwort zur vierten Auflage.

---

Es ist nun doch während des Weltkrieges eine neue Auflage nötig geworden, und meine zeitweilige Zurückstellung vom Heeresdienst erlaubt mir die Ausföhrung. Die Heimkehrenden sollen sie fertig vorfinden. Möge sie die gleich freundliche Aufnahme finden wie ihre Vorgängerinnen.

Ich habe die Tabellen in manchem, wie ich glaube, entsprechend den Fortschritten der Wissenschaft geändert und wie ich mich schon früher bei den Eruptivgesteinen an Rosenbusch anlehnte, so habe ich mich jetzt bei den kristallinen Schiefergesteinen eng an

Grubenmann und Becke angeschlossen. Ihnen gebührt Ruhm und Dank.

Die äußere Form habe ich in Rücksicht auf die Handlichkeit geändert. Den alten Preis konnte die Verlagsbuchhandlung unter den heutigen allbekannten Umständen nicht einhalten.

Und nun „Glück auf!“

Jena, im Juli 1918.

G. Linck.

---

### Vorwort zur fünften Auflage.

---

Nachdem eine neue Auflage der Tabellen nötig geworden ist, habe ich, zum Teil dem Wunsch von Kollegen entsprechend, einige Tabellen geändert, eine ganz neu hinzugefügt, und eine vollständig umgearbeitet. Die Änderungen beziehen sich hauptsächlich auf die kieselsäurereichen Eruptivgesteine und auf die Sedimente; ganz umgearbeitet wurde die Tabelle der Einteilung der kristallinen Schiefergesteine, indem ich mich der Dreiteilung Grubenmanns anschloß; neu hinzugefügt wurde die Tabelle über die Salzgesteine, bei denen mir die Werke Rinnes, Boekes und Niggli's die Unterlage boten. Allen sei gedankt.

Glück auf!

Jena, im August 1921.

G. Linck.

# Inhalt.

	Seite
Tabelle 1. Chemische Zusammensetzung der Erdrinde . . .	1
Die Eruptivgesteine . . . . .	2
„ 2. Die wichtigsten Mineralien der Eruptivgesteine .	2
„ 3. Mengenverhältnis der wichtigsten Mineralien . . .	3
„ 4. Wesentliche Stoffassoziation im Magma . . . . .	3
„ 5. Kieselsäurereiche Eruptivgesteine . . . . .	5
„ 6. Kieselsäurearme Eruptivgesteine . . . . .	6
„ 7. Gangförmige Spaltungsprodukte der Tiefengesteine	7
„ 8. Spaltungsvorgänge im Eruptivmagma . . . . .	8
Die Sedimente . . . . .	9
„ 9. Die wichtigsten Mineralien der sekundären Gesteine (Sedimente) . . . . .	9
„ 10. Einteilung der Sedimente . . . . .	11
„ 11. Das Weltmeer und die Salzgesteine . . . . .	12
Die metamorphischen Gesteine . . . . .	15
Kontaktmetamorphose . . . . .	16
„ 12. Die wichtigsten Mineralien der Kontaktmeta- morphose . . . . .	16
„ 13. Umwandlung der Sedimente bei Kontaktmeta- morphose . . . . .	17
Dynamometamorphose . . . . .	18
„ 14. Die wichtigsten Mineralien der Dynamometamor- phose . . . . .	18
„ 15. Dynamometamorphose der Eruptivgesteine . . .	19
„ 16. Dynamometamorphose der Sedimente . . . . .	20
Die kristallinen Schiefergesteine . . . . .	21
„ 17. Die wichtigsten Mineralien der kristallinen Schiefer- gesteine . . . . .	22
„ 18. Klassifikation der wichtigsten kristallinen Schiefer- gesteine nach dem Mineralbestand . . . . .	24
„ 19. Einteilung der kristallinen Schiefergesteine nach Mineralbestand und Zonen . . . . .	25
„ 20. Klassifikation der Gneise nach der Textur . . .	26
„ 21. Die geologischen Formationen . . . . .	27
Acht Tafeln mit 16 Bildern der Struktur und Textur . . .	28



Tabelle 1.

**Wichtigste Stoffe der Erdrinde**

bis zu 10 km Tiefe, einschließlich Meerwasser (7 Proz.) und  
Atmosphäre (0,003 Proz.).

(Nach Clarke und Vogt.)

Sauerstoff	O	50	Prozente	} Wesentliche Bestandteile der Eruptivgesteine
Silicium	Si	26,20	„	
Aluminium	Al	7,44	„	
Eisen	Fe	4,15	„	
Calcium	Ca	3,19	„	
Natrium	Na	2,43	„	
Magnesium	Mg	2,30	„	
Kalium	K	2,27	„	
Wasserstoff	H	0,90	„	
Titan	Ti	0,399	„	
Chlor	Cl	0,21	„	
Kohlenstoff	C	0,13	„	
Schwefel	S	0,108	„	
Phosphor	P	0,102	„	
Baryum	Ba	0,082	„	
Mangan	Mn	0,078	„	

Alle übrigen Stoffe in weniger als einem halben Promille.

Tabelle 2.

## Primäre Gesteine

sind die Eruptivgesteine und deren Tuffe <sup>1)</sup>.

Die wichtigsten Mineralien der Eruptivgesteine.

1) **Quarz**  $\text{SiO}_2$

2) **Feldspäte:**

Alkalifeldspäte  $\left\{ \begin{array}{l} n\text{KAlSi}_3\text{O}_8 \\ m\text{NaAlSi}_3\text{O}_8 \end{array} \right\}$  (Gemeiner Orthoklas, \*Sanidin, \*Natronorthoklas, Mikroklin)

Kalknatron-  $\left\{ \begin{array}{l} n\text{NaAlSi}_3\text{O}_8 \\ m\text{CaAl}_2\text{Si}_2\text{O}_8 \end{array} \right\}$  (Albit, Oligoklas, Andesin, Labradorit, Bytownit, Anorthit)

\*Anorthoklas sind kalihaltige Kalknatronfeldspäte.

3) **Vertreter der Feldspäte in kieselensäureärmeren Gesteinen:**

\*Leucit  $\text{KAlSi}_2\text{O}_6$

Nephelin  $\text{NaAlSi}_3\text{O}_8$  (mit etwas überschüssiger  $\text{SiO}_2$ )

$\left\{ \begin{array}{l} \text{Hauyn } m\text{NaAlSi}_3\text{O}_8 + n\text{CaSO}_4 \\ \text{*Nosean } \quad \quad \quad + n\text{Na}_2\text{SO}_4 \end{array} \right.$

$\left\{ \begin{array}{l} \text{*Sodalith } \quad \quad \quad + n\text{NaCl} \end{array} \right.$

\*Melilith  $\left\{ \begin{array}{l} m\text{Ca}_2(\text{Mg, Fe})\text{Si}_2\text{O}_7 \\ n\text{Ca}_2\text{Al}_2\text{SiO}_7 \end{array} \right\}$

4) **Glimmer:**

Muscovit  $(\text{K, H})_6\text{Al}_6\text{Si}_6\text{O}_{24}$

Biotit  $m(\text{K, H})_6\text{Al}_6\text{Si}_6\text{O}_{24} + n(\text{Mg, Fe})_2\text{SiO}_4$

5) **Olivin**  $(\text{Mg, Fe})_2\text{SiO}_4$

6) **Augite u. Hornblenden (Pyroxen u. Amphibol):**

Rhombische  $(\text{Mg, Fe})\text{SiO}_3$

Monokline  $(\text{Ca, Mg, Fe})\text{SiO}_3$

meist mit  $\text{Al}_2$ ,  $\text{Fe}_2$  oder Na (Aegirin u. Arfvedsonit)

7) **Eisenerze:**

Magnetkies  $\text{Fe}_3\text{O}_4$

Magnetkies  $\text{FeS}$

8) **Titanmineralien:**

Titaneisen  $\text{FeTiO}_3$

Titanit  $\text{Ca}(\text{Ti, Si})\text{O}_3$

9) **Apatit:**  $\text{Ca}_5(\text{PO}_4)_3 \cdot \text{F}$  oder  $\text{Cl}$ .

<sup>1)</sup> Tuffe sind zu den Ergußgesteinen zugehörige, anfangs lockere (klastische), vulkanische Auswurfsprodukte.

\* Mineralien, die nur in Eruptivgesteinen vorkommen.

Tabelle 3.

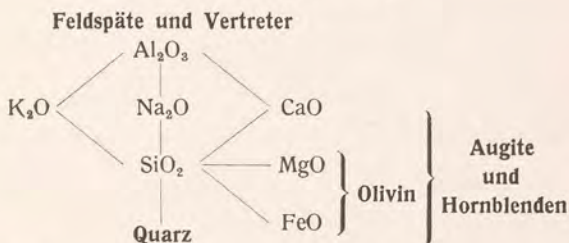
Diese Mineralien beteiligen sich (nach Clarke) in folgender Menge an der Zusammensetzung der Eruptivgesteine:

Feldspäte und Vertreter . . . . .	59,5 Prozent
Hornblenden und Augite . . . . .	16,8 „
Quarz . . . . .	12,0 „
Biotit . . . . .	3,8 „
Titanmineralien . . . . .	1,5 „
Apatit . . . . .	0,6 „
Alle übrigen Mineralien zusammen	5,8 „

Tabelle 4.

## Wesentliche Stoffassoziation im Eruptivmagma.

(Schematisch dargestellt.)



Bei der Berechnung geht man von der Tonerde aus, die mit Kieselsäure an die Alkalien und, soweit diese nicht ausreichen, an den Kalk gebunden die Feldspäte und ihre Vertreter liefert. Der Rest des Kalkes, Magnesia und Eisen liefern die Augite und Hornblenden oder bei mangelnder Kieselsäure Olivin. Überschüssige Kieselsäure liefert Quarz, mangelnde Feldspatvertreter und Olivin.

## Vorbemerkungen.

### Geologisches :

1. Tiefengesteine sind in großen unterirdischen Räumen erstarrt.  
Ganggesteine erfüllen flächenhaft sich ausdehnende Spalten.  
Ergußgesteine haben bei der Eruption die Erdoberfläche erreicht und sich dort ausgebreitet.
2. Zwischen prätertiären und jüngeren Gesteinen besteht nur ein Altersunterschied.

### Chemisches :

3. Der Gehalt an Kieselsäure steigt mit den Alkalien und fällt mit zunehmenden alkalischen Erden (und Eisen).
4. Natrium herrscht unter den Alkalien zumeist vor (Natronvormacht).
5. Mit abnehmender Kieselsäure und zunehmendem Eisen wird die Farbe der Gesteine dunkler und das spezifische Gewicht nimmt zu.

### Mineralogisches :

6. In älteren Gesteinen ist der Alkalifeldspat gemeiner Orthoklas oder Mikroklin oder Albit, in jüngeren Sanidin oder sanidinähnlicher Natronorthoklas oder Anorthoklas.

### Physiographisches :

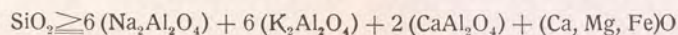
7. Unter Struktur versteht man die Form und gegenseitige Begrenzung der Gesteinsgemengteile (innere Vorgänge), z. B. glasig und körnig (= kristallinisch).

Unter Textur versteht man die räumliche Anordnung und Verteilung der Gemengteile (äußere Ursachen), z. B. massig, fluidal, sphärisch.

8. Obsidiane sind wasserarme, Pechsteine sind hydratisierte wasserreiche Gläser.
9. Bimssteine sind Gläser mit Schaumtextur, Mandelsteine sind Ergußgesteine mit Blasentextur.

## Eruptivgesteine.

### A. Kieselsäuregehalt größer als im Mittel ca. 50—55 %



größer ←  $\text{SiO}_2$  → kleiner

Alkalien herrschend  
 $\text{Na}_2\text{Al}_2\text{O}_4 + \text{K}_2\text{Al}_2\text{O}_4 > \text{CaAl}_2\text{O}_4$   
 Alkalifeldspäte

Alkalische Erden herrschend  
 $\text{CaAl}_2\text{O}_4 \geq \text{Na}_2\text{Al}_2\text{O}_4 + \text{K}_2\text{Al}_2\text{O}_4$   
 Natronreiche Kalknatronfeldspäte

Alkalifeldspäte mit Glimmer, natriumhaltigen Augiten und Hornblenden oder einem von diesen		Alkalifeldspäte mit Kalknatronfeldspat mit Glimmer, Augit, Hornblende oder einem von diesen		Geologisches Auf- treten und herrschende Struktur	Feldspat der Reihe Oligoklas-Andesin-Labradorit mit Amphibol, Augit, Biotit, Hypersthen oder einem von diesen	
mit Quarz	ohne Quarz	mit Quarz	ohne Quarz		mit Quarz	ohne Quarz
Alkaligranit	Alkalisyenit	Alkalikalkgranit	Alkalikalksyenit	Tiefengesteine. Struktur: hypidiomorph-körnig	Quarzdiorit	Diorit
Granitporphyr	Syenitporphyr	Granitporphyr	Syenitporphyr	Ganggesteine. Struktur: holokristallin-porphyrisch	Quarzdiorit- porphyr	Dioritporphyr
Quarzkeratophyr	Keratophyr	Quarzporphyr	Quarzfrier Por- phyr oder Orthophyr	Prätertiäre Ergußgesteine. Struktur: holo- bis hypokristallin- porphyrisch oder vitrophyrisch	Quarzporphyr	Porphyr
Liparit (Comendit)	Trachyt (Pantellerit)	Liparit	Trachyt	Tertiäre und posttertiäre Ergußgesteine. Struktur: holo- bis hypo- kristallin-porphyrisch oder vitrophyrisch	Dacit	Andesit

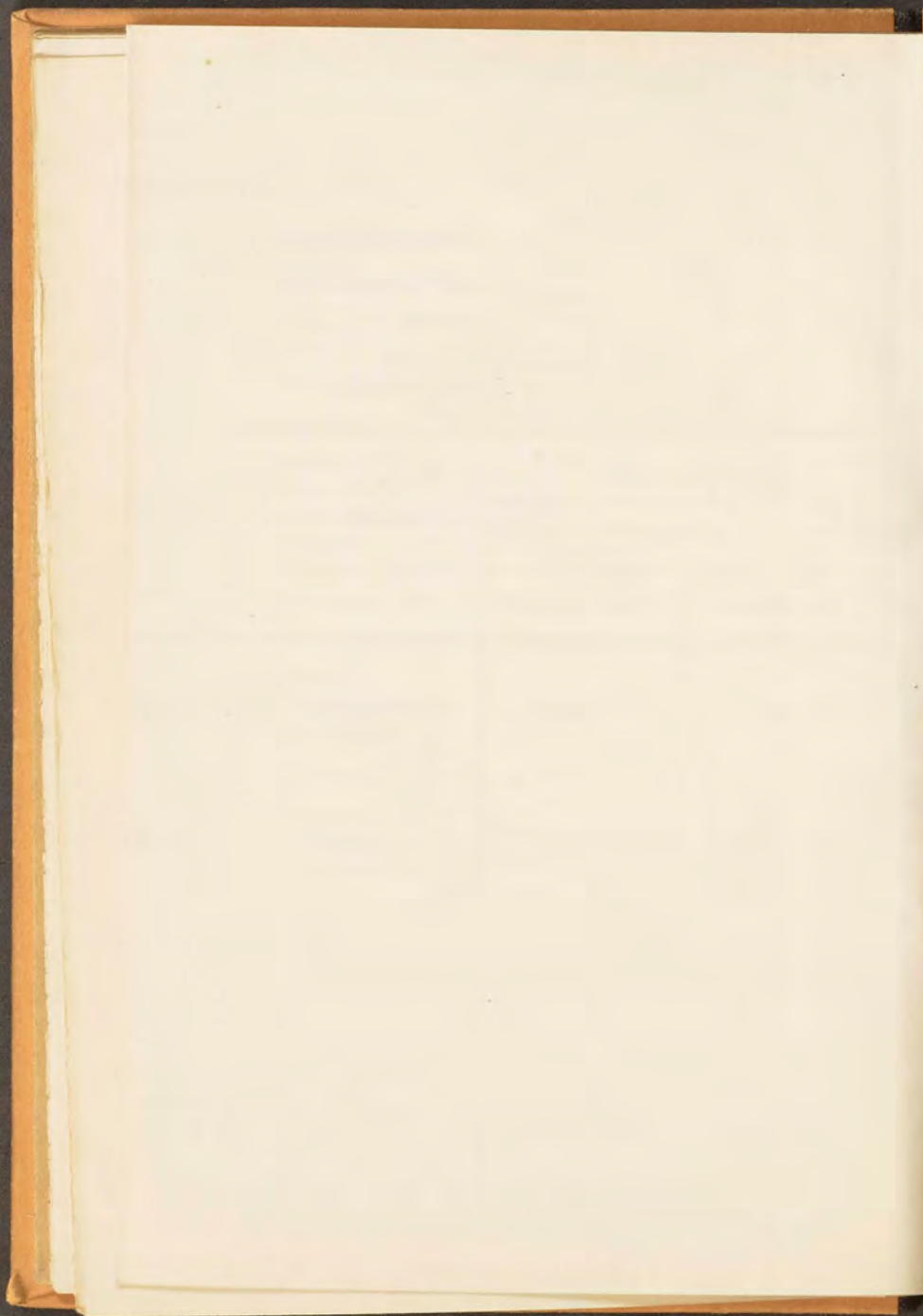


Tabelle 6.

B. Kieselsäuregehalt geringer als im Mittel ca. 50—55 %

$\text{SiO}_2 < 6 (\text{Na}_2\text{Al}_2\text{O}_4) + 6 (\text{K}_2\text{Al}_2\text{O}_4) + 2 (\text{CaAl}_2\text{O}_4) + (\text{Ca, Mg, Fe})\text{O}.$

Alkalische Erden herrschend  
größer ←  $\text{SiO}_2$  → kleiner

$\text{SiO}_2 \rightarrow$  fallend

Alkalien herrschend  
Feldspatvertreter  
 $\text{Na}_2\text{Al}_2\text{O}_4 + \text{K}_2\text{Al}_2\text{O}_4 \geq \text{CaAl}_2\text{O}_4$

Kalkreicher Kalknatronfeldspat der Labradorit-Anorthit-Reihe  
 $\text{CaAl}_2\text{O}_4 > \text{Na}_2\text{Al}_2\text{O}_4 + \text{K}_2\text{Al}_2\text{O}_4$

ohne Feldspat

Wesentlicher Mineralbestand	mit Orthoklas (und Hauyn-Sodalith, Aegirin-Augit)		mit Plagioklas (und Alkalifeldspat, Hauyn-Sodalith, Aegirin-Augit, Hornblende, Biotit, Melanit) <sup>1)</sup>		mit Augit (mit Hauyn-Sodalith, Melilith, Hornblende, Biotit, Melanit) <sup>1)</sup>		Geologisches Auftreten und herrschende Struktur	mit Diallag, anderen monoklinen Pyroxenen oder Hornblende oder beiden		mit rhombischen Pyroxenen		Olivin (mit Pyroxenen, Hornblenden, Biotit und Spinell <sup>2)</sup> )	Pyroxen (mit Hornblenden u. Spinell <sup>2)</sup> )
			ohne Olivin	mit Olivin	ohne Olivin	mit Olivin		ohne Olivin	mit Olivin	ohne Olivin	mit Olivin		
Nephelin	Elaeolithsyenit	Essexit (mit Olivin)	Theralith und Shonkinit		Ijolith Urtit	Bekinkinit	Tiefengesteine. Struktur: hypidiomorph-körnig	Gabbro (Anorthosit) <sup>3)</sup>	Olivingabbro	Norit	Olivinnorit	Peridotit	Pyroxenit
Leucit	Leucitsyenit					Missourit		Gabbroporphyr					
Nephelin	Elaeolithporphyr		Shonkinitporphyr		Ijolithporphyr		Ganggesteine. Struktur: holokristallin-porphyrisch	Diabas (Grünstein)				Pikrit	
Leucit	Leucitporphyr							Diabasporphyr (Grünstein) (Labradorporphyr, Augitporphyr)				Pikritporphyr	
Nephelin	Phonolith		Nephelintephrit	Nephelinbasanit	Nephelinit	Nephelinbasalt	Palaeo- und neovulkanische Ergußgesteine. Struktur: hypokristallin-porphyrisch bis gleichmäßig körnig oder vitrophyrisch	Melaphyr					
Leucit	Leucitphonolith		Leucittephrit	Leucitbasanit	Leucitit	Leucitbasalt		Feldspatbasalt					
Nephelin und Leucit	Leucitophyr		Nephelin-Leucittephrit	Nephelin-Leucitbasanit									

Zusätze zu Tab. 6. Melilithbasalt entspricht einem Nephelinbasalt, dessen Nephelin durch Melilith vertreten ist (ist also ärmer an Alkalien). — Sordawalit und Wichtisit sind diabasische Gläser. — Tachylit und Hyalomelan sind Gläser der basaltischen Gesteine. Limburgite (Magmabasalte) und Augitite sind vitrophyrische Ausbildungsformen basaltischer Gesteine mit Augit und Olivin oder Augit allein als Einsprenglingen und bald Nephelin-, bald Leucit-, bald Feldspat-ähnlichem Gesteinsglas. Der Gehalt an Eisenerzen steigt mit sinkendem Gehalt an Kieselsäure und steigendem Gehalt an alkalischen Erden. — (In den Gesteinen der Gabbrofamilie tritt gerne Magnetkies, in den Diabasen, Melaphyren und Basalten gerne Titaneisen auf.)

1) Melanit ist ein Kalkeisengranat, der einzige eruptive Granat. — 2) Spinelle sind Salze nach der Formel  $\ddot{\text{R}}\ddot{\text{R}}_2\text{O}_4$ ; ( $\ddot{\text{R}}$  = Mg, Fe, Mn;  $\ddot{\text{R}}$  = Al, Fe, Cr). — 3) Anorthosite sind Gesteine der Gabbrofamilie mit großer Armut an farbigen Gemengteilen.

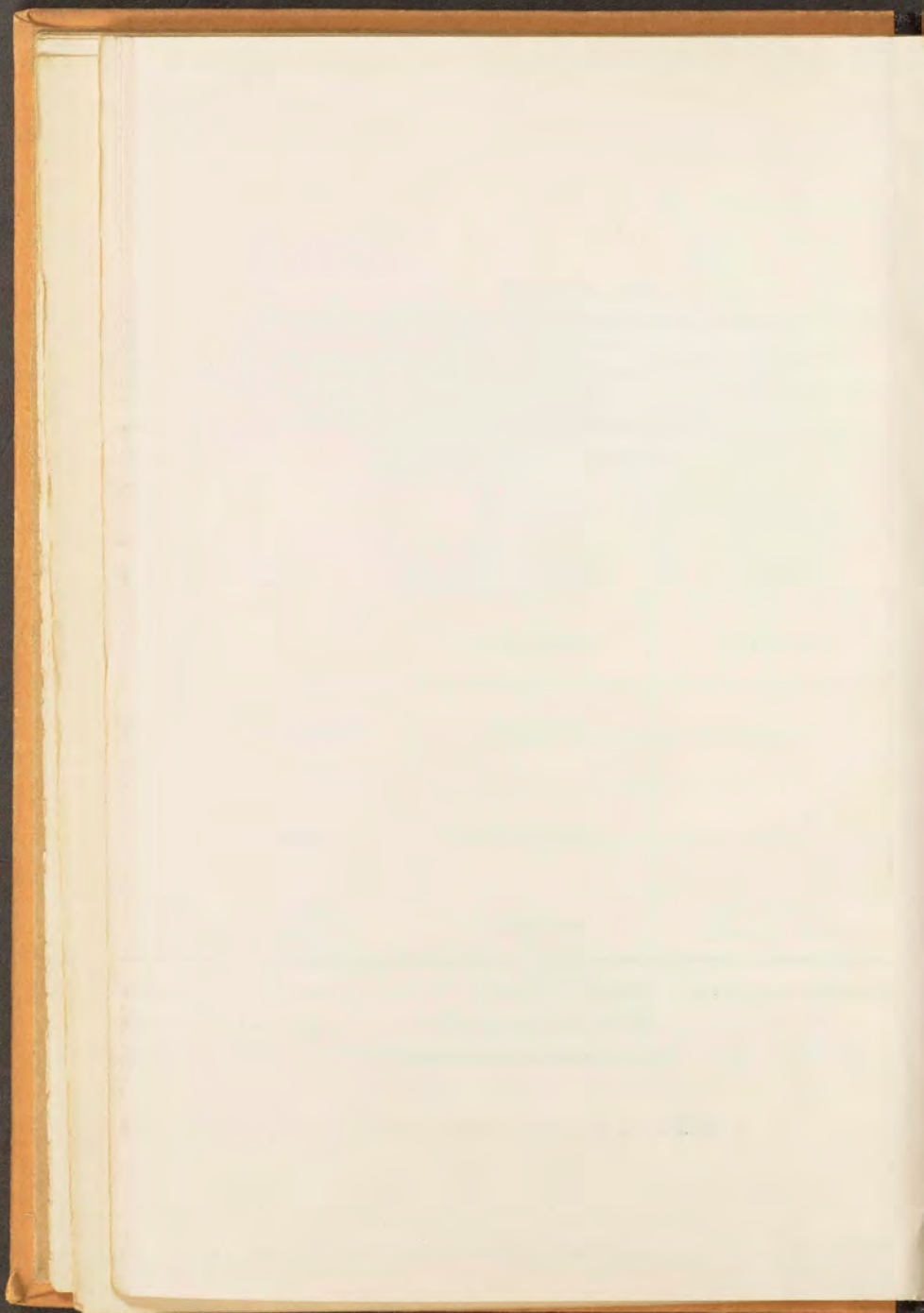


Tabelle 7.

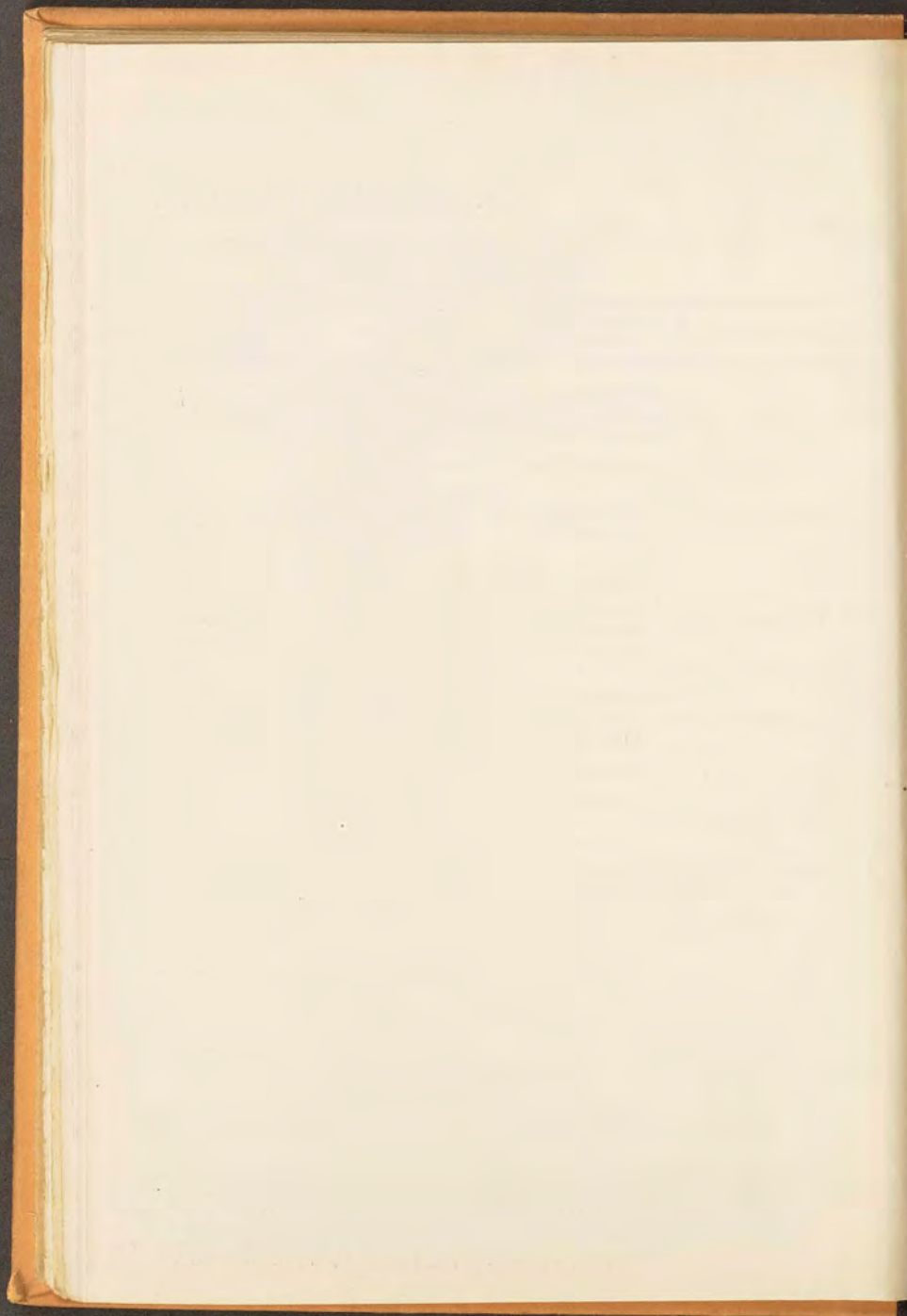
# Gangförmige Spaltungsprodukte der Tiefengesteine.

Reicher an Alkalien und ärmer an alkalischen Erden  
als das zugehörige Tiefengestein.  
(Aplitische Reihe.)

Reicher an alkalischen Erden und ärmer an Alkalien  
als das zugehörige Tiefengestein.  
(Lamprophyrische Reihe.)

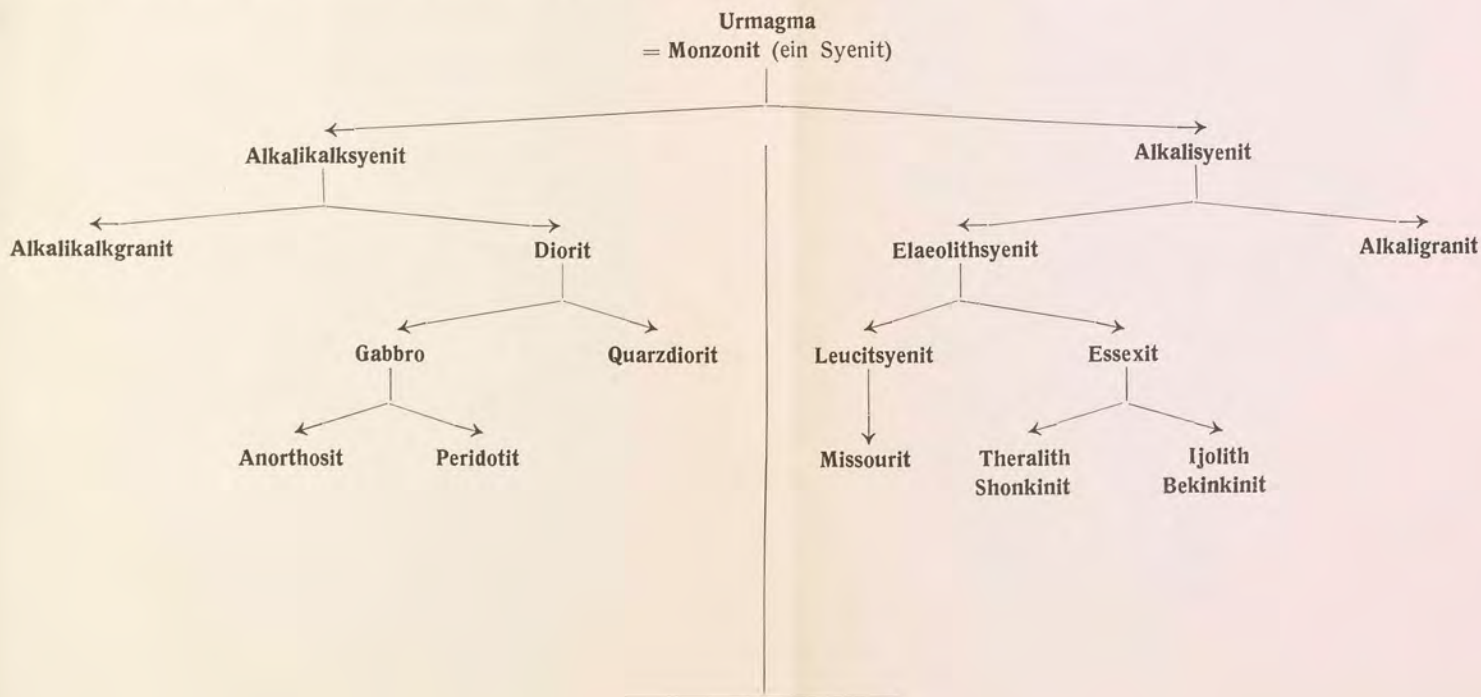
Name	Wesentlicher Mineralbestand	Struktur	Zugehörig zu:	Zugehörig zu:	Struktur	Wesentlicher Mineralbestand	Name
Aplit	Kalifeldspat, Plagioklas, Quarz (Muscovit, Biotit)	panidiomorph-körnig bis holokristallin-porphyrisch	Granit, Diorit, Syenit, Gabbro	Granit, Diorit, Syenit	panidiomorph-körnig bis holokristallin-porphyrisch	Orthoklas, Biotit, Augit	Minette
Bostonit	Alkalifeldspat (selten Orthoklas)	panidiomorph-körnig und trachytoid	Elaeolithsyenit und Essexit	Granit, Diorit, Syenit	panidiomorph-körnig bis holokristallin-porphyrisch	Plagioklas, Biotit, Augit	Kersantit
Tinguait	Alkalifeldspat, Aegirin mit Quarz oder Nephelin oder Leucit	panidiomorph-körnig oder holokristallin-porphyrisch	Alkaligranit, Alkali-syenit, Elaeolithsyenit	Granit, Diorit, Syenit	panidiomorph-körnig	Orthoklas, Amphibol, Augit	Vogesit
Malchit	Plagioklas mit Hornblende oder Diallag	panidiomorph-körnig oder holokristallin-porphyrisch	Granit, Diorit und Gabbro	Granit, Diorit, Syenit	panidiomorph-körnig	Plagioklas, Amphibol, Augit	Spessartit
				Gabbro	holokristallin-porphyrisch	Plagioklas, Amphibol, Augit	Odinit
				Elaeolithsyenit und Theralith	panidiomorph-körnig bis holokristallin-porphyrisch	Plagioklas, Amphibol, Augit	Camptonit
				Elaeolithsyenit und Theralith	hypokristallin bis vitrophyrisch	Glas, Amphibol, Augit	Monchiquit
				Elaeolithsyenit und Theralith	hypokristallin bis vitrophyrisch	wie Monchiquit mit Olivin und Melilith	Alnöit

Zusätze zu Tab. 7. **Pegmatite** sind wesentlich Quarz-Feldspatgesteine der pneumatolytischen Periode mit meist gangförmigem Auftreten. Die pneumatolytische Periode der Eruptivgesteine beginnt mit dem Eintreten ausgiebiger Kristallisation, mit der Erstarrung des Magmas, dem damit im Zusammenhang stehenden Entweichen der vom Magma absorbierten Dämpfe und Gase (Chlor, Fluor, Bor, Schwefelsäure usw.) und mit dem Zutritt vadosen Wassers. Dabei kann eintreten eine Zersetzung und Umwandlung des Gesteins (Alaunstein, Greisen) und eine Neubildung von charakteristischen Mineralien (Tridymit, Turmalin, Topas, Fluorit, Apatit, Zeolithe usw.).



## Spaltungsvorgänge im Magma.

Die **Klassifikation der Eruptivgesteine** in den Tabellen 5, 6 und 7 ist eigentlich künstlich insofern, als die Gesteine durch Spaltungsvorgänge aus einem Urmagma (Schmelzfluß) etwa von der Zusammensetzung eines Monzonit genannten, syenitischen Gesteins (z. T. vielleicht unter Aufschmelzen von Sedimenten) entstanden sind. Dadurch sind alle Typen durch Übergänge miteinander verknüpft. Wie etwa die Spaltungen vor sich gegangen sind, ist für die Tiefengesteine in der untenstehenden Tabelle durch Pfeile angedeutet. **Jede Magmenart kann als Tiefen-, Gang- oder Ergußgestein auftreten.** Auch reine Magneteisenlager können als Spaltungsprodukte vorkommen.







## Die sekundären Gesteine oder Sedimente

entstehen aus den primären Gesteinen (den Eruptivgesteinen und ihren Tuffen) durch Verwitterung, Auslaugung und Absatz aus Luft, Eis und Wasser.

(Sie können natürlich auch durch entsprechende Wiederaufarbeitung sekundärer oder metamorphischer Gesteine entstehen.)

Tabelle 9.

### Die wichtigsten Mineralien der sekundären Gesteine.

#### I. Klastische Gesteine:

1. Tone, das sind Gemenge von Kaolin  $H_4Al_2Si_2O_9$  mit anderen wasserhaltigen Tonerdesilikaten
  2. Muscovit  $(K, H)_3Al_3Si_3O_{10}$
  3. Quarz  $SiO_2$
  4. Wasserhaltige oxydische Eisenerze
  5. Kalkspat  $CaCO_3$
  6. Dolomit  $CaMgC_2O_6$
- } als Bindemittel.

(Auch können sie die Mineralien der primären Gesteine noch enthalten.)

#### II. Chemische Sedimente:

1. Anhydrit  $CaSO_4$
  2. Gips  $CaSO_4 \cdot 2 H_2O$
  3. Polyhalit  $Ca_2MgK_2S_4O_{16} \cdot 2 H_2O$
  4. Glauberit  $Na_2SO_4 \cdot CaSO_4$
  5. Reichardtit  $MgSO_4 \cdot 7 H_2O$
  6. Hexahydrat  $MgSO_4 \cdot 6 H_2O$
  7. Kieserit  $MgSO_4 \cdot H_2O$
- } Abraumalze

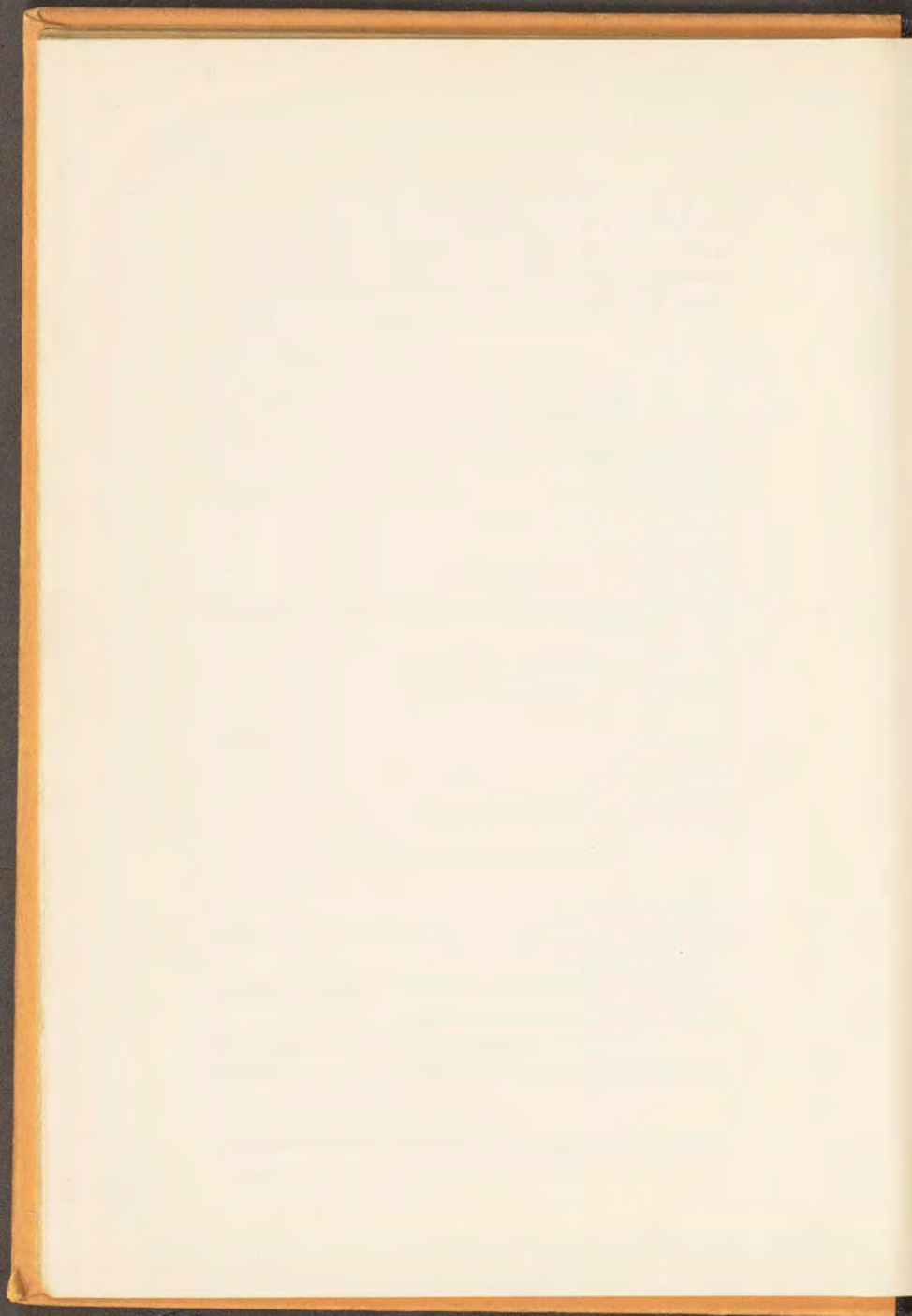
- |                       |   |               |
|-----------------------|---|---------------|
| 8. Langbeinit         | $K_2SO_4 \cdot 2 MgSO_4$                                      | } Abraumsalze |
| 9. Vanthoffit         | $3 Na_2SO_4 \cdot MgSO_4$                                     |               |
| 10. Loewit            | $Na_2SO_4 \cdot MgSO_4 \cdot 2 \frac{1}{2} H_2O$              |               |
| 11. Astrakanit        | $Na_2SO_4 \cdot MgSO_4 \cdot 4 H_2O$                          |               |
| 12. Kainit            | $KCl \cdot MgSO_4 \cdot 3 H_2O$                               |               |
| 13. Sylvit            | $KCl$   |               |
| 14. Carnallit         | $KCl \cdot MgCl_2 \cdot 6 H_2O$                               |               |
| 15. Bischofit         | $MgCl_2 \cdot 6 H_2O$   |               |
| 16. Steinsalz (Halit) | $NaCl$  |               |
| 17. Kalkspat          | } $CaCO_3$  |               |
| 18. Aragonit          |   |               |
| 19. Dolomit           | $Ca Mg C_2O_6$  |               |
| 20. Ankerite          | $Ca (Mg, Fe, Mn)C_2O_6$                                       |               |
| 21. Eisenspat         | $FeCO_3$  |               |
| 22. Braunspäte        | $(Fe, Mg, Mn)CO_3$  |               |
| 23. Glaukonit         | glimmerähnliches, an Kali und Wasser reiches Mg-Fe-Al-Silikat |               |
| 24. Thuringit         | } chloritische Fe-Al-Silikate                                 |               |
| 25. Chamosit          |   |               |
| 26. Opal              | $SiO_2 \cdot nH_2O$   |               |
| 27. Quarz             | $SiO_2$   |               |
| 28. Limonit           | $Fe_2O_3 \cdot 1 \frac{1}{2} H_2O$                            |               |
| 29. Gelbeisenerz      | $Fe_2O_3 \cdot 2 H_2O$  |               |
| 30. Beauxit           | $Al_2O_3 \cdot 2 H_2O$ (Laterit).                             |               |

### III. Organogene Sedimente:

1. Kalkspat }  $CaCO_3$
2. Aragonit }
3. Opal  $SiO_2 \cdot nH_2O$
4. Kohlenwasserstoffe
5. Kohlen (d. s. wesentlich Gemenge von Kohlenwasserstoffen und Aschenbestandteilen).

In den Braunkohlen hauptsächlich Kohlenwasserstoffe der aliphatischen, in den Steinkohlen der aromatischen Reihe.

Allgemein verbreitet („Hans in allen Gassen“, Henkel):  
Pyrit und Markasit  $FeS_2$ .



## Die sekundären Gesteine.

Ungelöste Bestandteile						Gelöste Bestandteile											
Mechanische Sedimente (etwa 95 % aller Sedimente, dabei 75 % Tongesteine)						Chemische Sedimente					Organogene Sedimente						
(Klastische oder Trümmergesteine)						(d. h. durch Verdunstung, Abkühlung, chemische Reaktionen gebildet)											
(Die Striche deuten an, wie sich diese Sedimente beim Altern oder bei der Metamorphose verändern.)																	
Direktes Verwitterungsprodukt anderer Gesteine		Nach längerem Transport durch Wind, Eis oder Wasser									Zoogene Sedimente			Phytogene Sedimente			
Schotter		Gerölle (Kies), Geschiebe (Moränen)		Sande		Wassertransport Tone <sup>1)</sup>		Windtransport Löss <sup>1)</sup>		Eistransport Geschiebelehm		Kalkig	Kieselig	Organisch	Organisch	Kieselig	Kalkig
(Gehängeschutt, eluvialer Laterit)				mit Feldspat ohne Feldspat		arm reich		an Alkali und Kalk.		reich		(Foraminiferen, Korallen usw.)	(Radiolarien, Spongien usw.)			(Diatomeen)	(Algen usw.)
						Die Unterschiede gleichen sich mit dem Altern durch Adsorption aus						Kalkstein <sup>3)</sup> z. T. Kreide <sup>3)</sup> Muschelbreccie <sup>3)</sup>	Kieselschiefer z. T. Spongiensandstein	Bitumen <sup>9)</sup> Erdöl Asphalt Guano	Torf <sup>9)</sup> Braunkohle Steinkohle Anthrazit	Kieselguhr Polierschiefer Kieselschiefer z. T.	Kalkstein <sup>3)</sup> z. T.
Breccien		Konglomerate		Arkosen		Sandsteine		Schiefertone, Mergel <sup>1)</sup>				Anhydrit Gips Abraumsalze Steinsalz (S. Tab. 11)	Kalkoolith <sup>2)</sup> (Rogenstein) <sup>2)</sup> Eisenoolith <sup>4)</sup> Spateisenstein <sup>4)</sup> Dolomit <sup>9)</sup> Kalktuff (Kalksinter) Kalkstein z. T. <sup>3)</sup>	Glaukonit Thuringit <sup>8)</sup> Chamosit	Kieselsinter Süßwasserquarzit <sup>5)</sup> Raseneisenstein (Limonit) Alluvialer Laterit (Beauxit)		
mit Feldspat		(mit Feldspat)						Tonschiefer und Grauwackenschiefer.									
		Grauwacken				Quarzite											



Tabelle 11.

## Das Weltmeer.

1. Menge der Salze im Durchschnitt 3,5 Proz.

2. Ihre chemische Zusammensetzung (nach Erdmann):

<b>Natrium</b> Na . . . 30,54 Proz.	<b>Chlor</b> Cl . . . . . 55,29 Proz.
<b>Kalium</b> K . . . . 1,125 „	<b>Brom</b> Br . . . . . 0,185 „
<b>Magnesium</b> Mg . . 3,69 „	<b>Schwefelsäure</b> SO <sub>3</sub> 7,76 „
<b>Calcium</b> Ca . . . . 1,18 „	<b>Kohlensäure</b> CO <sub>2</sub> 0,20 „

3. Daraus berechnet sich, daß das Chlornatrium rund drei Viertel der Salze ausmacht.

4. Das Überwiegen des Natriums über das Kalium ist bedingt durch die Adsorption des Kaliums in den Tongesteinen.

5. Das starke Zurücktreten des kohlensauren Kalks ist bedingt durch dessen Verbrauch zu Schalen und Skeletten der Organismen.

6. Die Säuren stammen aus den Vulkanen. Sie sind in erster Linie an die stärksten Basen gebunden. Daher das Zurücktreten der alkalischen Erden.

7. In Binnenmeeren in kontinentalem Klima, wo die Verdunstung an Wasser größer ist als die Zufuhr, entstehen

## Die Salzgesteine.

8. Würde das Weltmeer der Verdunstung bei 25° C unterworfen, die Temperatur sich nicht wesentlich ändern, auch nicht durch die Flüsse andauernd wieder Salze zugeführt, so würden sich daraus (nach van t'Hoff u. A.) folgende Gesteine in der durch Zahlen kenntlich gemachten Reihenfolge abscheiden:

Gesteine	Wesentliche Gemengteile				Zone	
11. Bischofithalit	Steinsalz (Halit)	Anhydrit	Kieserit	Carnallit	Bischofit	Bischofitzone
10. Carnallithalit				—	Carnallitzone	
9. Kieserithalit			—	Kainitzone		
8. Kainithalit			Mg-Hexahydrat		—	
7. Reichardtthalit		Reichardtthalit	—			
6. Reichardthalit		Astrakanit	Polyhalit	—	Kaliummagnesiumsulfatzone	
5. Astrakanithalit				—	Kalifreie Magnesiumsulfatzone	
4. Polyhalithalit				—	Polyhalitzone	
3. Anhydritthalit				Anhydrit	—	Anhydritzone
2. Gipshalit		Gips	—	—	Gipszone	
1. Gipsfels	Gips	—	—			

9. Diese Ablagerungen sind sehr empfindlich gegen Änderungen von Temperatur und Druck, und es stellen sich daher unter dem Einfluß der inneren Erdwärme und des Gebirgsdruckes andere Gleichgewichte (Metamorphosen) nach nachstehenden Beispielen ein:

a)  $\text{MgSO}_4 \cdot 7 \text{H}_2\text{O}$  geht bei  $27^\circ$  in  $\text{MgSO}_4 \cdot 6 \text{H}_2\text{O}$  und dieses bei  $31,5^\circ$

**Reichardt**

**Hexahydrat**

in  $\text{MgSO}_4 \cdot \text{H}_2\text{O}$  über.

**Kieserit**

b)  $\text{MgSO}_4 \cdot \text{KCl} \cdot 3 \text{H}_2\text{O}$  geht bei  $83^\circ$  in  $\text{MgSO}_4 \cdot \text{H}_2\text{O} + \text{KCl}$

**Kainit**

**Kieserit**

**Sylvin**

+  $\text{K}_2\text{SO}_4 \cdot 2 \text{MgSO}_4 + \text{MgCl}_2$ -Lösung über.

**Langbeinit**

c)  $\text{KCl} \cdot \text{MgCl}_2 \cdot 6 \text{H}_2\text{O}$  geht bei  $160^\circ$  in  $\text{KCl} + \text{Magnesiumchlorid}$ -

**Carnallit**

**Sylvin**

lösung über.

10. So wird z. B. die bei  $25^\circ \text{C}$  gebildete Gesteinsfolge (siehe 8.) bei  $80^\circ \text{C}$  in folgender Weise umgebildet:

Bischofitzone	als Lösung weggeführt oder verbraucht
Carnallitzone	Carnallit mit Hartsalz (= Steinsalz + Kieserit + Sylvin)
Kainitzone	Hartsalz
Kalium-Magnesiumsulfatzone	Langbeinit und Hartsalz
Kalifreie Magnesiumsulfatzone	Loewit, Vanthoffit, Kieserit
Polyhalitzone	Glauberit, Anhydrit
Anhydritzone	Unverändert
Gipszone	Anhydrit.

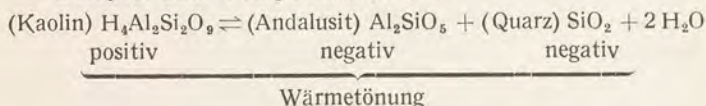
## Metamorphische Gesteine.

Die Eruptivgesteine und die Sedimente erleiden unter dem Einfluß von Druck und Wärme bei Gegenwart von Wasser ohne wesentliche Zufuhr von Stoff eine nach der Stärke des Druckes oder nach der Höhe der Temperatur lokalisierte Metamorphose. Und zwar unterscheidet man **Kontaktmetamorphose** und **Dynamometamorphose**.

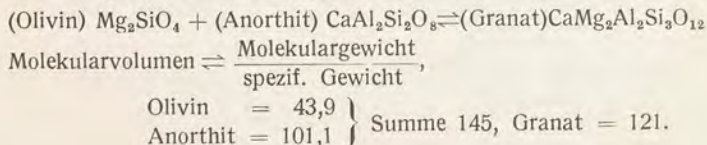
Die zwei wichtigsten in Betracht kommenden Gesetze sind:

1. Das **Temperaturgesetz**: Steigende Temperatur bedingt eine Stoffassoziation, welche Wärme absorbiert (negative Wärmetönung). Sinkende Temperatur bedingt eine Stoffassoziation, welche Wärme produziert (positive Wärmetönung).
2. Das **Volumgesetz**: Drucksteigerung bedingt eine Stoffassoziation, welche den kleinsten Raum beansprucht.

Beispiel zum Temperaturgesetz:



Beispiel zum Volumgesetz:



I. Durch Berührung mit erkaltenden **Tiefengesteinen** wird in den Sedimentgesteinen **Kontaktmetamorphose** hervorgerufen. Es wirkt hier primär die steigende Temperatur, welche bei Gegenwart von Wasser z. T. in Druck umgesetzt wird.

Die Veränderung wird mit der Annäherung an die Berührungsstelle immer stärker, die Sedimente werden unter mehr oder minder vollständigem Verlust ihrer ursprünglichen Struktur und Textur kristallinischer. Die am stärksten veränderten Gesteine heißen **Hornfelse**.

In unmittelbarer Nähe des Kontakts tritt gerne noch pneumatolytische Einwirkung hinzu, und es entstehen dann noch Bor-, Fluor- und Chlor-haltige Mineralien (Turmalin, Fluorit, Topas, Apatit usw.). (Pneumatolytischer Kontakt.) Auch Erzlagerstätten können so entstehen.

---

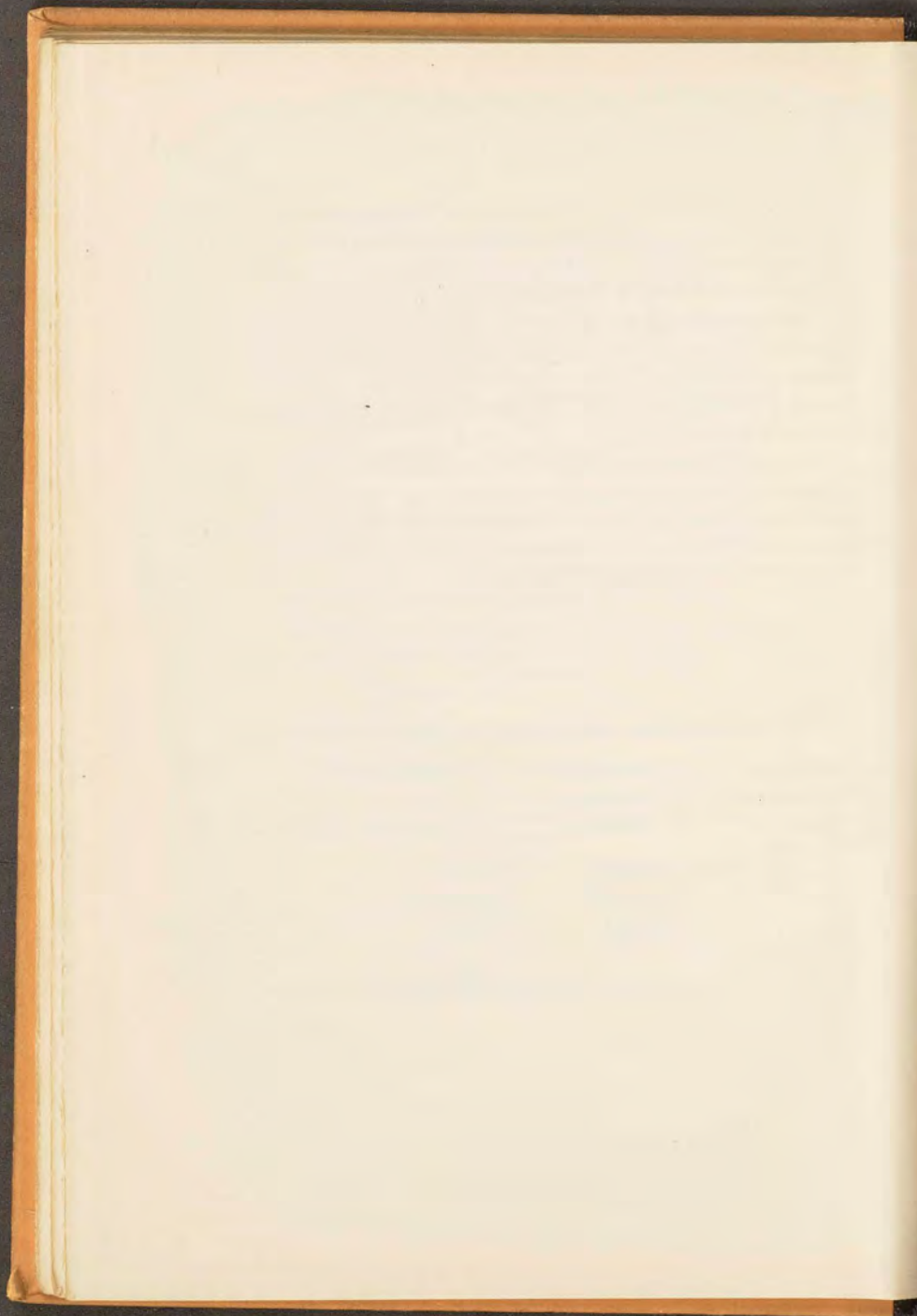
Tabelle 12.

Die wichtigsten neugebildeten Mineralien<sup>1)</sup> sind:

Kalkspat	Vesuvian	Muskovit
Wollastonit	Hornblende	Biotit
Granat	Feldspäte	Andalusit (Chiastolith)
	Cordierit	Graphit
	Staurolith	Magneteisen
	Dolomit	Quarz

---

1) Chemische Zusammensetzung siehe Tabellen 2, 9 u. 17.



# Die Sedimente liefern nun im allgemeinen folgende **Kontaktprodukte**:

Kieselige Breccien und Konglomerate, Sandsteine mit kieseligem Bindemittel, Süßwasserquarzit, Spongiensandstein, Radiolarien- und Diatomeenschlamm



Quarzite

Tonig-kieselige Breccien und Konglomerate, Sandsteine mit tonigem Bindemittel



Andalusithornfelse,  
Glimmerhornfelse

Tonschiefer



**Knotenschiefer**  
(Knoten dunkel = Anreicherung organ. Subst.)



**Knotenglimmerschiefer**  
(Frucht- u. Garbenschiefer, Chiasolithschiefer)



Andalusithornfelse

Kieselige Breccien und Konglomerate, sowie Sandsteine mit kalkig- oder dolomitisch-tonigem Bindemittel



Andalusithornfelse  
Cordierithornfelse  
Feldspathornfelse

Breccien und Konglomerate mit Feldspatgehalt (mit Na, K, Ca, Mg), Arkosen, Grauwacken



Cordierithornfelse,  
Feldspathornfelse,  
Glimmerhornfelse

Grauwackenschiefer



**Knotenschiefer**  
(Knoten hell = Feldspat)



Feldspat- und  
Glimmerhornfelse

Mergel- und tonhaltige Kalksteine u. Dolomite



Kalksilikathornfelse,  
Magnesia-silikathornfelse

Reine Kalksteine und Dolomite



Körnige Kalke  
(Marmore)  
und Dolomite,  
Bruzitgesteine

Eisenhydroxyd und Eisenkarbonat



Magneteisen

Kohlen



Graphit



2. Bei der Gebirgsfaltung wird in allen Gesteinen lokal **Dynamometamorphose** hervorgerufen. Es wirkt hier primär der Druck, der sich z. T. in Wärme umsetzt. Wasser ist zugegen.

Die Veränderung ist am stärksten in der Zone des stärksten Druckes und der größten Tiefe, sie wird intensiver mit der längeren Dauer des Druckes. Zu Beginn und nahe der Erdoberfläche tritt zunächst eine Zertrümmerung der vorhandenen Mineralien (Kataklas- oder Mörtelstruktur), dann eine Plan- und Paralleltextur (Schieferung, Augenstruktur) mit gleichzeitiger Neubildung von Serizit und erst weiterhin je nach Stärke und Dauer des Druckes die Neubildung der übrigen Mineralien ein.

Tabelle 14.

Die wichtigsten neugebildeten Mineralien sind:

bei schwacher Umwandlung:

Muskovit (Serizit)	Zoisit	} Saussurit
Paragonit	Epidot	
Chlorit	Quarz	
Serpentin	Kalkspat	
Talk	Dolomit	
Albit	Eisenglanz	
Hornblende	Rutil	
Granat	Titanit	

bei starker Umwandlung:

Feldspäte	Cordierit
Biotit	Disthen
Augite	Sillimanit
Olivin	Magnetkies
Skapolith	Magneteisen
Staurolith	Graphit

(Siehe auch Tabelle 17.)

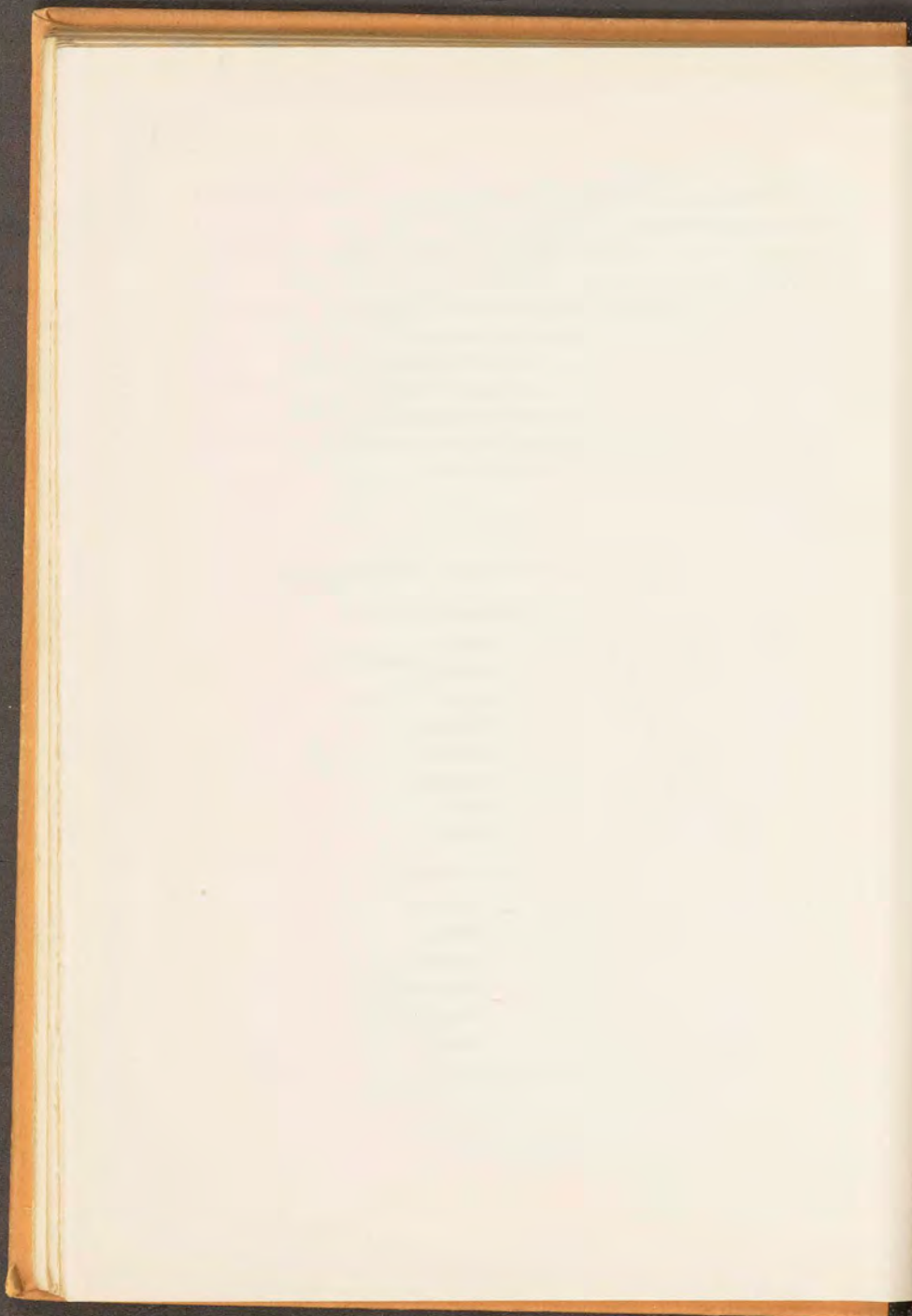


Tabelle 15.

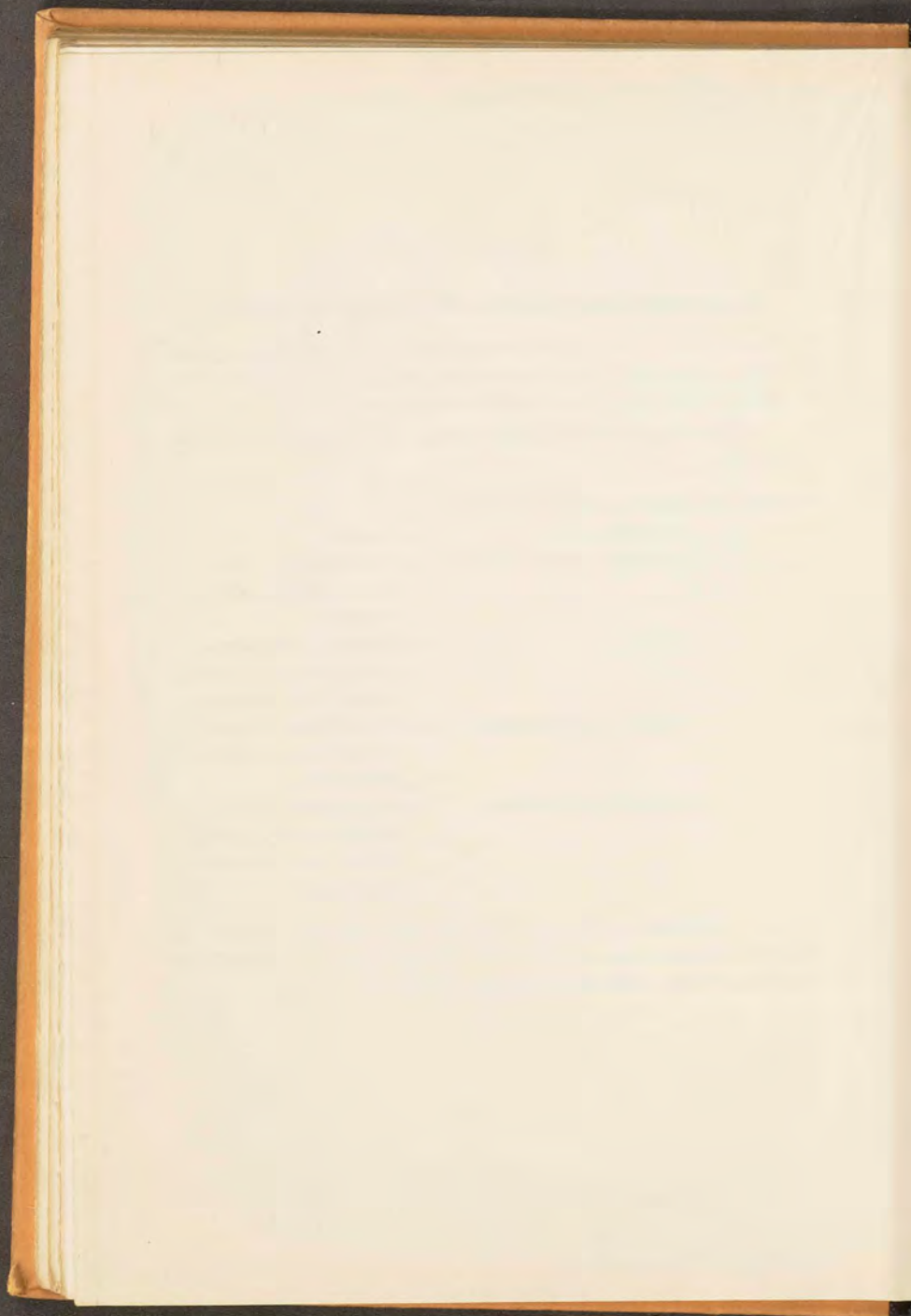
## Dynamometamorphose der Eruptivgesteine.

Bei schwacher Einwirkung der Dynamometamorphose macht die ursprüngliche Struktur der Eruptivgesteine der Katalasstruktur und einer Plan- und Paralleltextur Platz.

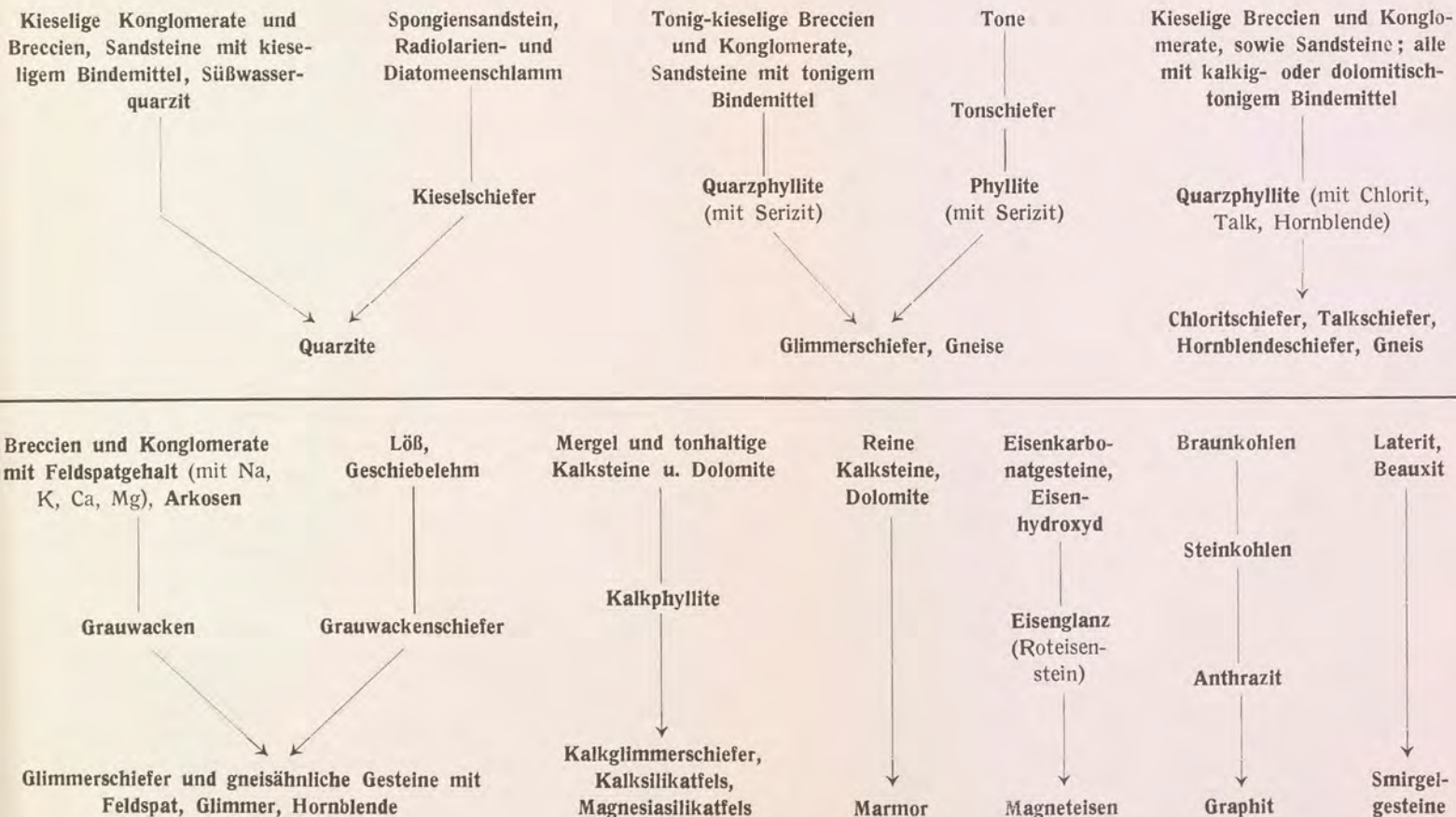
Bei stärkerer Veränderung werden im allgemeinen die Gesteine der

Familie der	<b>Granite, Syenite, Diorite,</b>	
	<b>Elaeolithsyenite</b> usw.	zu <b>Gneisen</b>
„ „	<b>Porphyre und Porphyrite</b>	zu <b>Porphyroiden, Phylliten, Glimmerschiefern, Gneisen</b>
„ „	<b>Gabbro</b>	zu <b>Gneisen, Amphibolgesteinen und Serpentin</b> (bzw. Nephrit)
„ „	<b>Diabase und Melaphyre</b>	zu <b>Serpentin, Hornblende- und Chloritgesteinen</b>
„ „	<b>feldspatfreien Gesteine</b>	zu <b>Serpentin, Hornblende-, Augit-, Olivin-, Talk- und Chloritgesteinen.</b>

Die Produkte stärkster Veränderung gleichen sowohl bei den Eruptivgesteinen als bei den Sedimenten den kristallinen Schiefergesteinen vollkommen (siehe Tabelle 18, 19, 20).



# Dynamometamorphose der Sedimente. (Die Striche deuten den Verlauf der Umwandlung an.)





Die überall die Basis der unveränderten Sedimente bildenden

## **kristallinen Schiefergesteine**

sind durch allgemeine Metamorphose (Einwirkung von Druck und gesteigerter Temperatur bei Vorhandensein oder Fehlen von Wasser und meist ohne wesentliche Zufuhr von Stoff) entstanden.

Es können jedoch auch Injektionen von Lösungen oder von Eruptivmaterial stattgefunden haben. Auch pneumatolytische Beeinflussung von unterliegendem Eruptivmagma kommt vor.

Es ist klar, daß sowohl die Eruptivgesteine als die Sedimente eine Veränderung erfahren mußten, denn jene sind bei im allgemeinen niedrigem Druck und bei hoher Temperatur, diese bei Normaldruck und niedriger Temperatur entstanden. Nun wirkt aber erhöhter Druck und wenig erhöhte Temperatur oder hoher Druck und hohe Temperatur. Dies bedingt also mehrere Zonen, deren obere im allgemeinen Mineralien von positiver Wärmetönung und kleinem Volumen und deren untere Mineralien von negativer Wärmetönung und kleinstem Volumen aufweist.

Infolge einseitigen Druckes zeigen alle Gesteine mehr oder minder deutlich die Plan- und Paralleltexur.

Gesteine, welche das Gleichgewicht noch nicht erreicht haben, noch mehr oder minder deutlich ihre Abstammung verraten, wenige neue deutlich kristallisierte Mineralien enthalten, nennt man **Phyllite**.

Gesteine, die aus Eruptiven entstanden sind, nennt man „**Ortho**“-Gesteine, die aus Sedimenten „**Para**“-Gesteine. Man kann sie in den meisten Fällen unterscheiden teils durch den Chemismus (chemische Zusammensetzung; Vorherrschen des Kalis über das Natron und Tonerdeüberschuß in den Sedimenten), teils durch die Struktur (Reliktstrukturen) der Eruptiven (z. B. Augengneis).

Es liefern Gesteine der Gruppen der nachfolgenden Tabelle 19:

1. **die Eruptivgesteine und ihre Tuffe** Gruppen I, III, IV, V, VI, VII
2. a) **die mechanischen Sedimente** Gruppen II, V, VIII, IX, XII
- b) **die chemischen Sedimente** Gruppen V, IX, X, XI
- c) **die organogenen Sedimente** Gruppen VIII, IX, X.

Tabelle 17.

**Die wichtigsten Mineralien der kristallinen Schiefergesteine.**

Die kristallinen Schiefergesteine können entsprechend ihrer Entstehung fast alle Mineralien der primären und sekundären Gesteine als Relikte enthalten. (Nicht beobachtet sind hauptsächlich die meisten Feldspatvertreter der primären und die leicht löslichen Salze der sekundären Gesteine.) Die primär nur in metamorphen Gesteinen vorkommenden Mineralien sind mit einem Stern bezeichnet.

Druck und Temperatur steigen mit der Tiefe.

**A. In allen drei Zonen.**

1. Quarz  $\text{SiO}_2$
2. Albit-Oligoklas  $m\text{NaAlSi}_3\text{O}_8 \cdot \text{CaAl}_2\text{Si}_2\text{O}_8$  ( $m > 3$ )
3. \*Granat  $\bar{R}_3\bar{R}_2\text{Si}_3\text{O}_{12}$  ( $\bar{R} = \text{Mg, Fe, Ca, Mn}$ )  $\bar{R} = \text{Al, Fe, Cr}$
4. Hornblende  $(\text{Ca, Mg, Fe})\text{SiO}_3$  (z. T. Al- und Na-haltig)
5. Kalzit  $\text{CaCO}_3$
6. Dolomit  $\text{CaMgC}_2\text{O}_6$
7. Magnetit  $\text{Fe}_3\text{O}_4$

**B. In der oberen Zone.**

1. \*Serizit = dichtem Muskovit
2. \*Paragonit  $(\text{Na, K, H})_6\text{Al}_6\text{Si}_6\text{O}_{24}$
3. \*Talk  $\text{H}_2\text{Mg}_3\text{Si}_4\text{O}_{12}$
4. \*Serpentin  $\text{H}_4(\text{Mg, Fe})_3\text{Si}_2\text{O}_9$
5. \*Chlorit  $n\text{H}_4(\text{Mg, Fe})_3\text{Si}_2\text{O}_9 \cdot m\text{H}_4(\text{Mg, Fe})_2\text{Al}_2\text{SiO}_6$
6. Glaukophan = Na-haltige Hornblende
7. \*Anthophyllit = rhombische Hornblende
8. Kohle

**C. In der oberen und mittleren Zone.**

1. Albit  $\text{NaAlSi}_3\text{O}_8$
2. \*Margarit  $\text{H}_2\text{CaAl}_4\text{Si}_2\text{O}_{12}$
3. \*Sprödglimmer (Chloritoid, Ottrelith) = wasserhaltige Ca-, Mg-, Fe-, Al-Silikate
4. \*Strahlstein  $\text{Ca}(\text{Mg, Fe})_2\text{Si}_3\text{O}_9$  (Hornblende)
5. \*Staurolith  $\text{H}_4(\text{Fe, Mg})_6(\text{Al, Fe})_2\text{Si}_{11}\text{O}_{66}$
6. \*Epidot  $\text{H}_2\text{Ca}_4(\text{Al, Fe})_6\text{Si}_6\text{O}_{26}$  } Saussurit
7. \*Zoisit = eisenfreiem Epidot }

8. \*Disthen  $\text{Al}_2\text{SiO}_5$
9. Haematit  $\text{Fe}_2\text{O}_3$

#### D. In der mittleren Zone.

1. Muscovit  $(\text{K}, \text{H})_6\text{Al}_6\text{Si}_6\text{O}_{24}$
2. Na-haltige Augite u. Hornblenden
3. Blaugrüne Hornblenden
4. \*Tremolit  $\text{CaMg}_3\text{Si}_4\text{O}_{12}$
5. \*Graphitoid } amorpher Kohlenstoff
6. \*Schungit }

#### E. In der mittleren und unteren Zone.

1. Orthoklas  $\text{KAlSi}_3\text{O}_8$
2. Anorthoklas  $(\text{K}, \text{Na})\text{AlSi}_3\text{O}_8 \cdot \text{CaAl}_2\text{Si}_2\text{O}_8$
3. Alle Plagioklase  $n\text{NaAlSi}_3\text{O}_8 \cdot m\text{CaAl}_2\text{Si}_2\text{O}_8$
4. Nephelin  $\text{NaAlSiO}_4$
5. \*Phlogopit  $(\text{K}, \text{H})_4\text{Al}_4\text{Si}_6\text{O}_{20}\text{F}_2 \cdot n\text{Mg}_2\text{SiO}_4$
6. Biotit  $(\text{K}, \text{H})_6\text{Al}_6\text{Si}_6\text{O}_{24} \cdot n(\text{Mg}, \text{Fe})_2\text{SiO}_4$
7. Augite  $(\text{Ca}, \text{Mg})\text{SiO}_3$  z. T. Al- und Na-haltig
8. \*Skapolith = einem Kalknatronfeldspat mit Gehalt an Chloriden, Sulfaten, Karbonaten des Natriums und Kalziums.

#### F. In der unteren Zone.

1. Olivin  $(\text{Mg}, \text{Fe})_2\text{SiO}_4$
2. \*Wollastonit  $\text{CaSiO}_3$
3. \*Diopsid  $(\text{Ca}, \text{Mg})\text{SiO}_3$
4. \*Jadeit u. Chloromelanit = Na-haltige Augite
5. \*Vesuvian  $[\text{H}_6(\text{Ca}, \text{Mg})_3(\text{Al}, \text{Fe})_2]_{11}\text{Si}_{15}\text{O}_{63}$
6. \*Cordierit  $\text{Mg}_2\text{Al}_4\text{Si}_5\text{O}_{18}$
7. \*Sillimanit  $\text{Al}_2\text{SiO}_5$
8. Korund  $\text{Al}_2\text{O}_3$
9. \*Graphit C

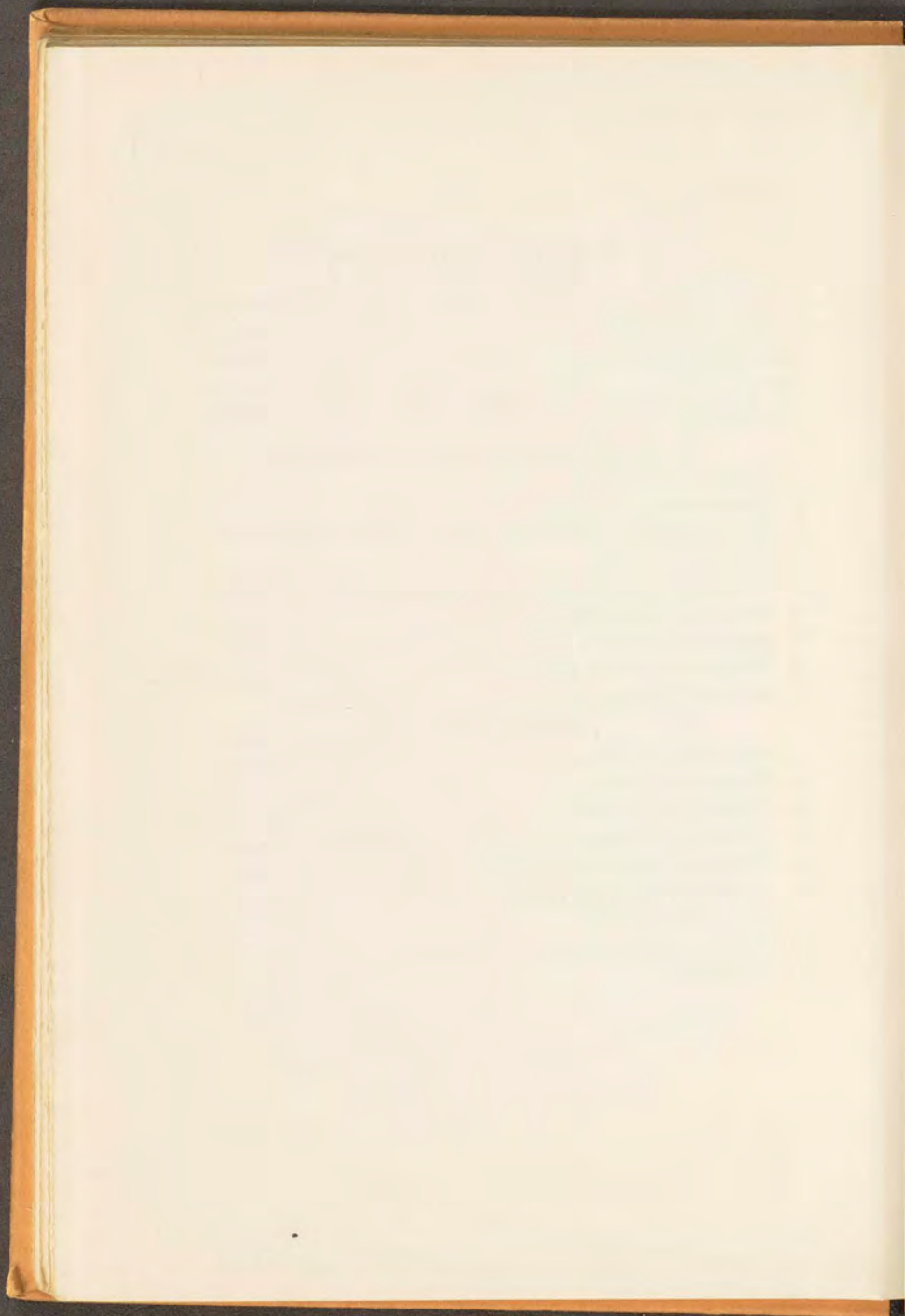
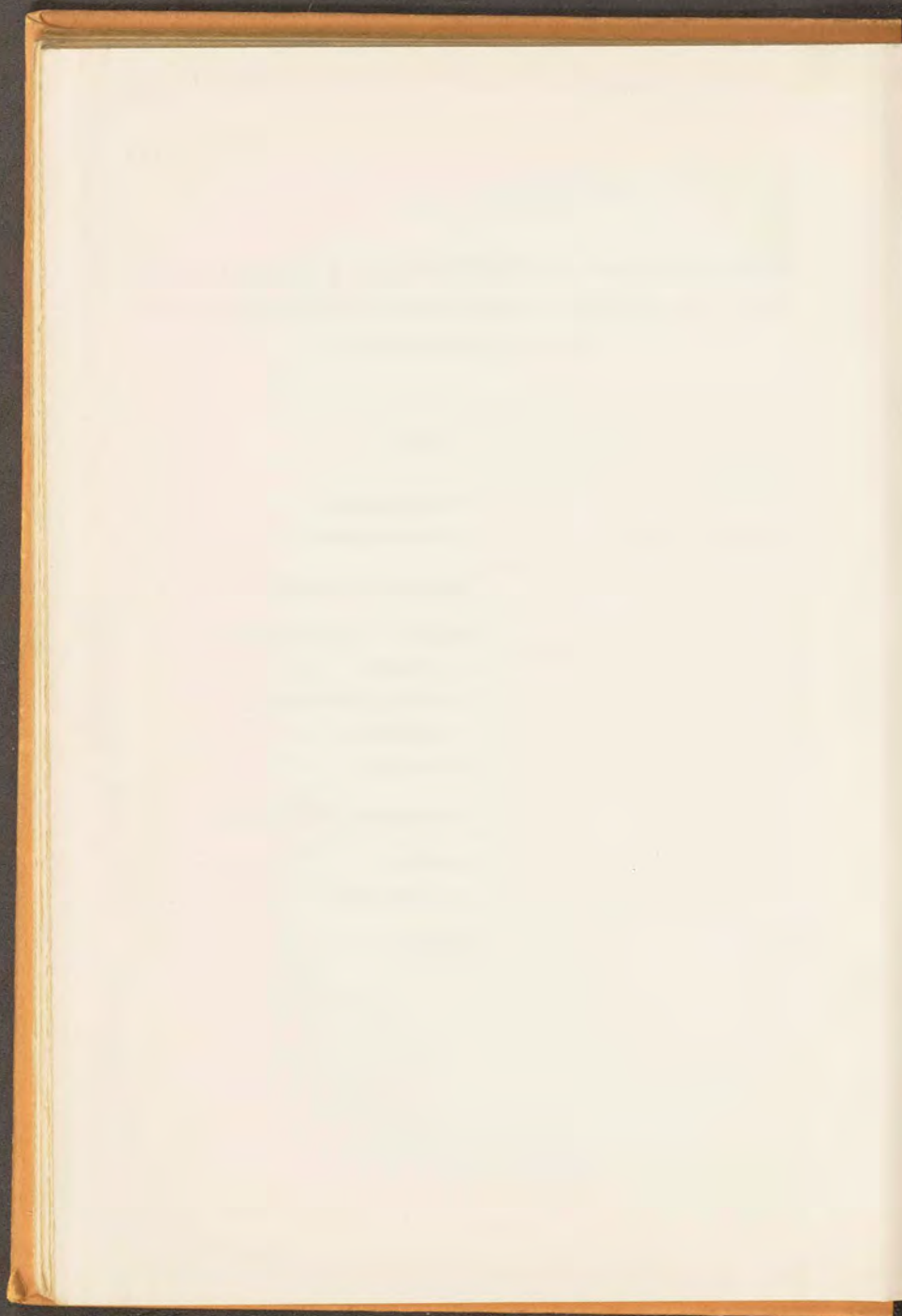


Tabelle 18.

# Klassifikation der wichtigsten kristallinen Schiefergesteine nach dem wesentlichsten Mineralbestand.

Quarz mit Alkalifeldspat und farb. Gemengt. . . . .	Gneis
Quarz mit Plagioklas und farb. Gemengt. . . . .	Plagioklasgneis
Quarz mit Glimmer . . . . .	Glimmerschiefer
Hornblende mit oder ohne Feldspat . . . . .	} Amphibolit (Nephrit)
Augit mit oder ohne Feldspat	{ Augitfels, Augitschiefer (Eklogit, Jadeit)
Olivin u. accessor. Gemengt. .	Olivinfels, Olivinschiefer
Chlorit u. accessor. Gemengt. .	Chloritschiefer
Talk u. accessor. Gemengt. . .	Talkschiefer
Graphit, Quarz mit oder ohne Feldspat . . . . .	} Graphitgneis, Graphitschiefer
Quarz u. accessor. Gemengt. .	Quarzite
Kalzit mit Silikaten . . . . .	Kalksilikatfels
Kalzit . . . . .	} Marmore
Dolomit. . . . .	



## Einteilung der kristallinen Schiefergesteine nach Mineralbestand und Zonen. (Nach Grubenmann.)

	Obere Zone (Epi)	Mittlere Zone (Meso)	Untere Zone (Kata)	Gruppen		Obere Zone (Epi)	Mittlere Zone (Meso)	Untere Zone (Kata)	Gruppen		Obere Zone (Epi)	Mittlere Zone (Meso)	Untere Zone (Kata)	Gruppen		Obere Zone (Epi)	Mittlere Zone (Meso)	Untere Zone (Kata)	Gruppen			
Mineralbestand mit * sind die wichtigsten Mineralien bezeichnet	Quarz*, Granat, Hornblende			I. Alkali-feldspat-gneise	Mineralbestand	Quarz*, Hornblende*, Kalzit			III. Kalk-natron-feldspat-gneise	Mineralbestand	Albit*, Hornblende*, Granat			VI. Jadeit-gesteine	Mineralbestand	Quarz*, Granat			VIII. Quarzit-gesteine			
	Albit*, Serizit*, Chlorit*	Orthoklas* (Mikroklin), Anorthoklas*, Oligoklas-Andesin*, Biotit*, Augit*				Albit*, Chlorit*, Serizit*, Kohle	Oligoklas-Andesin*, Orthoklas*, Biotit*				Glaukophan*, Strahlstein*, Chlorit	Orthoklas, Nephelin*				Albit, Serizit, Chlorit, Strahlstein, Chloritoid, Glaukophan, Kohle	Feldspäte, Biotit, Hornblende					
		Mikroperthit*, Muscovit*, Graphitoid					Zoisit*, Epidot*, Staurolith, Graphitoid					Mikroklin*, Albit-Oligoklas*, Na-haltige Augite* und Hornblenden*, Biotit					Jadeit*	Augit, Cordierit, Sillimanit, Graphit				
	Zoisit*, Epidot*, Disthen, Staurolith					Epidotalbit-gneis, Epidotphyllit		Hornblendeplagioklasgneis, Glimmerplagioklasgneis, Hornblende-garbenschiefer			Augit-, Hornblende-, Biotit-Plagioklasgneis		Disthen									
Ge-steine	Serizitalbit-gneise	Muscovitgneise, Zweiglimmergneise	Biotitgneise		Mineralbestand	Granat*, Hornblende, Quarz			IV. Eklogite und Amphibolite	Mineralbestand	Quarz*			Ge-steine	Alkaligneise	Alkaligneise	Jadeitite	Ge-steine	Serizitquarzite	Glimmerquarzite	Gneis-quarzite	
Mineralbestand	Quarz*, Granat*, Hornblende			II. Tonerde-silikat-gneise	Glaukophan*, Anthophyllit, Chlorit*, Karbonate, Serizit, Talk, Sprödglimmer, Serpentin	Andesin-Anorthit*, Biotit		Muscovit, Paragonit, Skapolith			Augit* (Omphacit), Orthoklas	Epidot*, Zoisit*,	Albitamphibolite, Epidot-chloritschiefer, Glaukophanite, Gabbroschiefer		Zoisitamphibolite, Skapolithamphibolite, Granat-amphibolite, Plagioklasamphibolite, Anthophyllitite	Eklogit, Plagioklas-Augitfels	Mineralbestand		Granat*, Hornblende*, Quarz*, Karbonate*			IX. Kalk-silikat-gesteine
	Albit*, Serizit, Paragonit, Chlorit*, Sprödglimmer*, Glaukophan, Kohle	Orthoklas* (Mikroklin), Mikroperthit*, Oligoklas-Andesin*, Biotit*				Muscovit, Paragonit, Skapolith													Augit* (Omphacit), Orthoklas		Biotit	
		Zoisit, Epidot, Schungit			Sillimanit*, Cordierit*, Spinelle, Augit, Graphit		Epidot*, Zoisit*,				Albitamphibolite, Epidot-chloritschiefer, Glaukophanite, Gabbroschiefer		Zoisitamphibolite, Skapolithamphibolite, Granat-amphibolite, Plagioklasamphibolite, Anthophyllitite		Eklogit, Plagioklas-Augitfels				Epidot, Zoisit, Strahlstein*, Kohle	Kalksilikat-schiefer, Epidotschiefer, Granatschiefer, Kalkphyllite		
	Gesteine	Schiefer	Serizitalbit-phyllite, Disthenalbitph., Staurolithalbitphyllite, Granatalbitph.		Muscovitschiefer, Zweiglimmersch., Paragonitschiefer, Disthenglimmerschiefer, Staurolithglimmerschiefer, Granatglimmersch.	II. Tonerde-silikat-gneise	Mineralbestand	Hornblende*, Granat			V. Magnesium-silikat-schiefer	Mineralbestand	Albit*, Epidot*, Zoisit*, Quarz, Karbonate			VII. Chloromelanit-gesteine		Gesteine			Glaukophanalbitschiefer, Serizitalbitschiefer, Chloritalbitschiefer	
Chlorite*, Talk*, Serpentin*, Albit				Spinelle, Biotit, Plagioklas, Quarz				Strahlstein*, Zoisit, Epidot, Karbonate														
		Gneise	Serizitalbit-gneis, Disthenalbitgneis, Staurolithalbitgneis, Granatalbit-gneis	Disthengneis, Staurolithgneis, Granatgneis					Anthophyllit*, Muscovit				Olivin*, Granat*, Augit*		Albit*, Epidot*, Zoisit*, Quarz, Karbonate		Chloromelanit*					
Sillimanit-gneis, Cordierit-gneis, Granatgneis				Chloritschiefer, Talkschiefer, Serpentin-schiefer, Ophikalzit				Hornblende-schiefer, Strahlsteinschiefer, Nephritite, Anthophyllitschiefer		Olivin-schiefer, Olivinfels, Augitschiefer, Augitfels												
Mineralbestand	Quarz*, Granat*, Hornblende			II. Tonerde-silikat-gneise	Mineralbestand	Kalzit*, Dolomit*, Quarz			X. Marmore	Mineralbestand	Kalzit*, Dolomit*, Quarz			Ge-steine	Kalzitmarmore, Dolomitmarmore			XI. Eisen-oxydische Gesteine				
	Albit, Serizit, Chlorit, Talk, Serpentin	Feldspäte, Phlogopit, Biotit, Hornblende				Albit, Serizit, Chlorit, Talk, Serpentin	Muscovit, Strahlstein, Tremolit, Graphitoid				Diopsid, Wollastonit, Granat, Skapolith, Vesuvian, Spinell, Olivin, Graphit	Zoisit, Epidot										
		Zoisit, Epidot																				
	Gesteine	Schiefer	Serizitalbit-gneis, Disthenalbitgneis, Staurolithalbitgneis, Granatalbit-gneis			Disthengneis, Staurolithgneis, Granatgneis	II. Tonerde-silikat-gneise	Mineralbestand			Granat*, Hornblende, Quarz				IV. Eklogite und Amphibolite	Mineralbestand	Quarz*			Ge-steine	Alkaligneise	Alkaligneise
Albit*, Serizit, Paragonit, Chlorit*, Sprödglimmer*, Glaukophan, Kohle				Orthoklas* (Mikroklin), Mikroperthit*, Oligoklas-Andesin*, Biotit*					Muscovit, Paragonit, Skapolith		Augit* (Omphacit), Orthoklas		Epidot*, Zoisit*,	Albitamphibolite, Epidot-chloritschiefer, Glaukophanite, Gabbroschiefer			Zoisitamphibolite, Skapolithamphibolite, Granat-amphibolite, Plagioklasamphibolite, Anthophyllitite	Eklogit, Plagioklas-Augitfels	Epidot, Zoisit, Strahlstein*, Kohle		Kalksilikat-schiefer, Epidotschiefer, Granatschiefer, Kalkphyllite	Kalksilikat-schiefer, Kalkglimmer-schiefer
		Zoisit, Epidot, Schungit		Sillimanit*, Cordierit*, Spinelle, Augit, Graphit		Epidot*, Zoisit*,			Albitamphibolite, Epidot-chloritschiefer, Glaukophanite, Gabbroschiefer		Zoisitamphibolite, Skapolithamphibolite, Granat-amphibolite, Plagioklasamphibolite, Anthophyllitite											
Gneise		Serizitalbit-gneis, Disthenalbitgneis, Staurolithalbitgneis, Granatalbit-gneis	Disthengneis, Staurolithgneis, Granatgneis		Anthophyllit*, Muscovit				Olivin*, Granat*, Augit*		Albit*, Epidot*, Zoisit*, Quarz, Karbonate		Chloromelanit*									
	Sillimanit-gneis, Cordierit-gneis, Granatgneis		Chloritschiefer, Talkschiefer, Serpentin-schiefer, Ophikalzit		Hornblende-schiefer, Strahlsteinschiefer, Nephritite, Anthophyllitschiefer		Olivin-schiefer, Olivinfels, Augitschiefer, Augitfels															
Mineralbestand	Quarz*, Granat*, Hornblende			II. Tonerde-silikat-gneise	Mineralbestand	Kalzit*, Dolomit*, Quarz			X. Marmore	Mineralbestand	Kalzit*, Dolomit*, Quarz			Ge-steine	Kalzitmarmore, Dolomitmarmore			XI. Eisen-oxydische Gesteine				
	Albit, Serizit, Chlorit, Talk, Serpentin	Feldspäte, Phlogopit, Biotit, Hornblende				Albit, Serizit, Chlorit, Talk, Serpentin	Muscovit, Strahlstein, Tremolit, Graphitoid				Diopsid, Wollastonit, Granat, Skapolith, Vesuvian, Spinell, Olivin, Graphit	Zoisit, Epidot										
		Zoisit, Epidot																				
	Gesteine	Schiefer	Serizitalbit-gneis, Disthenalbitgneis, Staurolithalbitgneis, Granatalbit-gneis			Disthengneis, Staurolithgneis, Granatgneis	II. Tonerde-silikat-gneise	Mineralbestand			Granat*, Hornblende, Quarz				IV. Eklogite und Amphibolite	Mineralbestand	Quarz*			Ge-steine	Alkaligneise	Alkaligneise
Albit*, Serizit, Paragonit, Chlorit*, Sprödglimmer*, Glaukophan, Kohle				Orthoklas* (Mikroklin), Mikroperthit*, Oligoklas-Andesin*, Biotit*					Muscovit, Paragonit, Skapolith		Augit* (Omphacit), Orthoklas		Epidot*, Zoisit*,	Albitamphibolite, Epidot-chloritschiefer, Glaukophanite, Gabbroschiefer			Zoisitamphibolite, Skapolithamphibolite, Granat-amphibolite, Plagioklasamphibolite, Anthophyllitite	Eklogit, Plagioklas-Augitfels	Epidot, Zoisit, Strahlstein*, Kohle		Kalksilikat-schiefer, Epidotschiefer, Granatschiefer, Kalkphyllite	Kalksilikat-schiefer, Kalkglimmer-schiefer
		Zoisit, Epidot, Schungit		Sillimanit*, Cordierit*, Spinelle, Augit, Graphit		Epidot*, Zoisit*,			Albitamphibolite, Epidot-chloritschiefer, Glaukophanite, Gabbroschiefer		Zoisitamphibolite, Skapolithamphibolite, Granat-amphibolite, Plagioklasamphibolite, Anthophyllitite											
Gneise		Serizitalbit-gneis, Disthenalbitgneis, Staurolithalbitgneis, Granatalbit-gneis	Disthengneis, Staurolithgneis, Granatgneis		Anthophyllit*, Muscovit				Olivin*, Granat*, Augit*		Albit*, Epidot*, Zoisit*, Quarz, Karbonate		Chloromelanit*									
	Sillimanit-gneis, Cordierit-gneis, Granatgneis		Chloritschiefer, Talkschiefer, Serpentin-schiefer, Ophikalzit		Hornblende-schiefer, Strahlsteinschiefer, Nephritite, Anthophyllitschiefer		Olivin-schiefer, Olivinfels, Augitschiefer, Augitfels															
Mineralbestand	Quarz*, Granat*, Hornblende			II. Tonerde-silikat-gneise	Mineralbestand	Kalzit*, Dolomit*, Quarz			X. Marmore	Mineralbestand	Kalzit*, Dolomit*, Quarz			Ge-steine	Kalzitmarmore, Dolomitmarmore			XI. Eisen-oxydische Gesteine				
	Albit, Serizit, Chlorit, Talk, Serpentin	Feldspäte, Phlogopit, Biotit, Hornblende				Albit, Serizit, Chlorit, Talk, Serpentin	Muscovit, Strahlstein, Tremolit, Graphitoid				Diopsid, Wollastonit, Granat, Skapolith, Vesuvian, Spinell, Olivin, Graphit	Zoisit, Epidot										
		Zoisit, Epidot																				
	Gesteine	Schiefer	Serizitalbit-gneis, Disthenalbitgneis, Staurolithalbitgneis, Granatalbit-gneis			Disthengneis, Staurolithgneis, Granatgneis	II. Tonerde-silikat-gneise	Mineralbestand			Granat*, Hornblende, Quarz				IV. Eklogite und Amphibolite	Mineralbestand	Quarz*			Ge-steine	Alkaligneise	Alkaligneise
Albit*, Serizit, Paragonit, Chlorit*, Sprödglimmer*, Glaukophan, Kohle				Orthoklas* (Mikroklin), Mikroperthit*, Oligoklas-Andesin*, Biotit*					Muscovit, Paragonit, Skapolith		Augit* (Omphacit), Orthoklas		Epidot*, Zoisit*,	Albitamphibolite, Epidot-chloritschiefer, Glaukophanite, Gabbroschiefer			Zoisitamphibolite, Skapolithamphibolite, Granat-amphibolite, Plagioklasamphibolite, Anthophyllitite	Eklogit, Plagioklas-Augitfels	Epidot, Zoisit, Strahlstein*, Kohle		Kalksilikat-schiefer, Epidotschiefer, Granatschiefer, Kalkphyllite	Kalksilikat-schiefer, Kalkglimmer-schiefer
		Zoisit, Epidot, Schungit		Sillimanit*, Cordierit*, Spinelle, Augit, Graphit		Epidot*, Zoisit*,			Albitamphibolite, Epidot-chloritschiefer, Glaukophanite, Gabbroschiefer		Zoisitamphibolite, Skapolithamphibolite, Granat-amphibolite, Plagioklasamphibolite, Anthophyllitite											
Gneise		Serizitalbit-gneis, Disthenalbitgneis, Staurolithalbitgneis, Granatalbit-gneis	Disthengneis, Staurolithgneis, Granatgneis		Anthophyllit*, Muscovit				Olivin*, Granat*, Augit*		Albit*, Epidot*, Zoisit*, Quarz, Karbonate		Chloromelanit*									
	Sillimanit-gneis, Cordierit-gneis, Granatgneis		Chloritschiefer, Talkschiefer, Serpentin-schiefer, Ophikalzit		Hornblende-schiefer, Strahlsteinschiefer, Nephritite, Anthophyllitschiefer		Olivin-schiefer, Olivinfels, Augitschiefer, Augitfels															
Mineralbestand	Quarz*, Granat*, Hornblende			II. Tonerde-silikat-gneise	Mineralbestand	Kalzit*, Dolomit*, Quarz			X. Marmore	Mineralbestand	Kalzit*, Dolomit*, Quarz			Ge-steine	Kalzitmarmore, Dolomitmarmore			XI. Eisen-oxydische Gesteine				
	Albit, Serizit, Chlorit, Talk, Serpentin	Feldspäte, Phlogopit, Biotit, Hornblende				Albit, Serizit, Chlorit, Talk, Serpentin	Muscovit, Strahlstein, Tremolit, Graphitoid				Diopsid, Wollastonit, Granat, Skapolith, Vesuvian, Spinell, Olivin, Graphit	Zoisit, Epidot										
		Zoisit, Epidot																				
	Gesteine	Schiefer	Serizitalbit-gneis, Disthenalbitgneis, Staurolithalbitgneis, Granatalbit-gneis			Disthengneis, Staurolithgneis, Granatgneis	II. Tonerde-silikat-gneise	Mineralbestand			Granat*, Hornblende, Quarz				IV. Eklogite und Amphibolite	Mineralbestand	Quarz*			Ge-steine	Alkaligneise	Alkaligneise
Albit*, Serizit, Paragonit, Chlorit*, Sprödglimmer*, Glaukophan, Kohle				Orthoklas* (Mikroklin), Mikroperthit*, Oligoklas-Andesin*, Biotit*					Muscovit, Paragonit, Skapolith		Augit* (Omphacit), Orthoklas		Epidot*, Zoisit*,	Albitamphibolite, Epidot-chloritschiefer, Glaukophanite, Gabbroschiefer			Zoisitamphibolite, Skapolithamphibolite, Granat-amphibolite, Plagioklasamphibolite, Anthophyllitite	Eklogit, Plagioklas-Augitfels	Epidot, Zoisit, Strahlstein*, Kohle		Kalksilikat-schiefer, Epidotschiefer, Granatschiefer, Kalkphyllite	Kalksilikat-schiefer, Kalkglimmer-schiefer
		Zoisit, Epidot, Schungit		Sillimanit*, Cordierit*, Spinelle, Augit, Graphit		Epidot*, Zoisit*,			Albitamphibolite, Epidot-chloritschiefer, Glaukophanite, Gabbroschiefer		Zoisitamphibolite, Skapolithamphibolite, Granat-amphibolite, Plagioklasamphibolite, Anthophyllitite											
Gneise		Serizitalbit-gneis, Disthenalbitgneis, Staurolithalbitgneis, Granatalbit-gneis	Disthengneis, Staurolithgneis, Granatgneis		Anthophyllit*, Muscovit				Olivin*, Granat*, Augit*		Albit*, Epidot*, Zoisit*, Quarz, Karbonate		Chloromelanit*									
	Sillimanit-gneis, Cordierit-gneis, Granatgneis		Chloritschiefer, Talkschiefer, Serpentin-schiefer, Ophikalzit		Hornblende-schiefer, Strahlsteinschiefer, Nephritite, Anthophyllitschiefer		Olivin-schiefer, Olivinfels, Augitschiefer, Augitfels															
Mineralbestand	Quarz*, Granat*, Hornblende			II. Tonerde-silikat-gneise	Mineralbestand	Kalzit*, Dolomit*, Quarz			X. Marmore	Mineralbestand	Kalzit*, Dolomit*, Quarz			Ge-steine	Kalzitmarmore, Dolomitmarmore			XI. Eisen-oxydische Gesteine				
	Albit, Serizit, Chlorit, Talk, Serpentin	Feldspäte, Phlogopit, Biotit, Hornblende				Albit, Serizit, Chlorit, Talk, Serpentin	Muscovit, Strahlstein, Tremolit, Graphitoid				Diopsid, Wollastonit, Granat, Skapolith, Vesuvian, Spinell, Olivin, Graphit	Zoisit, Epidot										
		Zoisit, Epidot																				
	Gesteine	Schiefer	Serizitalbit-gneis, Disthenalbitgneis, Staurolithalbitgneis, Granatalbit-gneis			Disthengneis, Staurolithgneis, Granatgneis	II. Tonerde-silikat-gneise	Mineralbestand			Granat*, Hornblende, Quarz				IV. Eklogite und Amphibolite	Mineralbestand	Quarz*			Ge-steine	Alkaligneise	Alkaligneise
Albit*, Serizit, Paragonit, Chlorit*, Sprödglimmer*, Glaukophan, Kohle				Orthoklas* (Mikroklin), Mikroperthit*, Oligoklas-Andesin*, Biotit*					Muscovit, Paragonit, Skapolith		Augit* (Omphacit), Orthoklas		Epidot*, Zoisit*,	Albitamphibolite, Epidot-chloritschiefer, Glaukophanite, Gabbroschiefer			Zoisitamphibolite, Skapolithamphibolite, Granat-amphibolite, Plagioklasamphibolite, Anthophyllitite	Eklogit, Plagioklas-Augitfels	Epidot, Zoisit, Strahlstein*, Kohle		Kalksilikat-schiefer, Epidotschiefer, Granatschiefer, Kalkphyllite	Kalksilikat-schiefer, Kalkglimmer-schiefer
		Zoisit, Epidot, Schungit		Sillimanit*, Cordierit*, Spinelle, Augit, Graphit		Epidot*, Zoisit*,			Albitamphibolite, Epidot-chloritschiefer, Glaukophanite, Gabbroschiefer		Zoisitamphibolite, Skapolithamphibolite, Granat-amphibolite, Plagioklasamphibolite, Anthophyllitite											
Gneise		Serizitalbit-gneis, Disthenalbitgneis, Staurolithalbitgneis, Granatalbit-gneis	Disthengneis, Staurolithgneis, Granatgneis		Anthophyllit*, Muscovit				Olivin*, Granat*, Augit*		Albit*, Epidot*, Zoisit*, Quarz, Karbonate		Chloromelanit*									
	Sillimanit-gneis, Cordierit-gneis, Granatgneis		Chloritschiefer, Talkschiefer, Serpentin-schiefer, Ophikalzit		Hornblende-schiefer, Strahlsteinschiefer, Nephritite, Anthophyllitschiefer		Olivin-schiefer, Olivinfels, Augitschiefer, Augitfels															
Mineralbestand	Quarz*, Granat*, Hornblende			II. Tonerde-silikat-gneise	Mineralbestand	Kalzit*, Dolomit*, Quarz			X. Marmore	Mineralbestand	Kalzit*, Dolomit*, Quarz			Ge-steine	Kalzitmarmore, Dolomitmarmore			XI. Eisen-oxydische Gesteine				
	Albit, Serizit, Chlorit, Talk, Serpentin	Feldspäte, Phlogopit, Biotit, Hornblende				Albit, Serizit, Chlorit, Talk, Serpentin	Muscovit, Strahlstein, Tremolit, Graphitoid				Diopsid, Wollastonit, Granat, Skapolith, Vesuvian, Spinell, Olivin, Graphit	Zoisit, Epidot										
		Zoisit, Epidot																				
	Gesteine	Schiefer	Serizitalbit-gneis, Disthenalbitgneis, Staurolithalbitgneis, Granatalbit-gneis			Disthengneis, Staurolithgneis, Granatgneis	II. Tonerde-silikat-gneise	Mineralbestand			Granat*, Hornblende, Quarz				IV. Eklogite und Amphibolite	Mineralbestand	Quarz*			Ge-steine	Alkaligneise	Alkaligneise
Albit*, Serizit, Paragonit, Chlorit*, Sprödglimmer*, Glaukophan, Kohle				Orthoklas* (Mikroklin), Mikroperthit*, Oligoklas-Andesin*, Biotit*					Muscovit, Paragonit, Skapolith		Augit* (Omphacit), Orthoklas		Epidot*, Zoisit*,	Albitamphibolite, Epidot-chloritschiefer, Glaukophanite, Gabbroschiefer			Zoisitamphibolite, Skapolithamphibolite, Granat-amphibolite, Plagioklasamphibolite, Anthophyllitite	Eklogit, Plagioklas-Augitfels	Epidot, Zoisit, Strahlstein*, Kohle		Kalksilikat-schiefer, Epidotschiefer, Granatschiefer, Kalkphyllite	Kalksilikat-schiefer, Kalkglimmer-schiefer
		Zoisit, Epidot, Schungit		Sillimanit*, Cordierit*, Spinelle, Augit, Graphit		Epidot*, Zoisit*,			Albitamphibolite, Epidot-chloritschiefer, Glaukophanite, Gabbroschiefer		Zoisitamphibolite, Skapolithamphibolite, Granat-amphibolite, Plagioklasamphibolite, Anthophyllitite											
Gneise		Serizitalbit-gneis, Disthenalbitgneis, Staurolithalbitgneis, Granatalbit-gneis	Disthengneis, Staurolithgneis, Granatgneis		Anthophyllit*, Muscovit				Olivin*, Granat*, Augit*		Albit*, Epidot*, Zoisit*, Quarz, Karbonate		Chloromelanit*									
	Sillimanit-gneis, Cordierit-gneis, Granatgneis		Chloritschiefer, Talkschiefer, Serpentin-schiefer, Ophikalzit		Hornblende-schiefer, Strahlsteinschiefer, Nephritite, Anthophyllitschiefer		Olivin-schiefer, Olivinfels, Augitschiefer, Augitfels															
Mineralbestand	Quarz*, Granat*, Hornblende			II. Tonerde-silikat-gneise	Mineralbestand	Kalzit*, Dolomit*, Quarz			X. Marmore	Mineralbestand	Kalzit*, Dolomit*, Quarz			Ge-steine	Kalzitmarmore, Dolomitmarmore			XI. Eisen-oxydische Gesteine				
	Albit, Serizit, Chlorit, Talk, Serpentin	Feldspäte, Phlogopit, Biotit, Hornblende				Albit, Serizit, Chlorit, Talk, Serpentin	Muscovit, Strahlstein, Tremolit, Graphitoid				Diopsid, Wollastonit, Granat, Skapolith, Vesuvian, Spinell, Olivin, Graphit	Zoisit, Epidot										
		Zoisit, Epidot																				
	Gesteine	Schiefer	Serizitalbit-gneis, Disthenalbitgneis, Staurolithalbitgneis, Granatalbit-gneis			Disthengneis, Staurolithgneis, Granatgneis	II. Tonerde-silikat-gneise	Mineralbestand			Granat*, Hornblende, Quarz				IV. Eklogite und Amphibolite	Mineralbestand	Quarz*			Ge-steine	Alkaligneise	Alkaligneise
Albit*, Serizit, Paragonit, Chlorit*, Sprödglimmer*, Glaukophan, Kohle				Orthoklas* (Mikroklin), Mikroperthit*, Oligoklas-Andesin*, Biotit*					Muscovit, Paragonit, Skapolith		Augit* (Omphacit), Orthoklas		Epidot*, Zoisit*,	Albitamphibolite, Epidot-chloritschiefer, Glaukophanite, Gabbroschiefer			Zoisitamphibolite, Skapolithamphibolite, Granat-amphibolite, Plagioklasamphibolite, Anthophyllitite	Eklogit, Plagioklas-Augitfels	Epidot, Zoisit, Strahlstein*, Kohle		Kalksilikat-schiefer, Epidotschiefer, Granatschiefer, Kalkphyllite	Kalksilikat-schiefer, Kalkglimmer-schiefer
		Zoisit, Epidot, Schungit		Sillimanit*, Cordierit*, Spinelle, Augit, Graphit		Epidot*, Zoisit*,			Albit													



Tabelle 20.

# Klassifikation der Gneise nach der Textur und Struktur.

	Textur:	Struktur:
Lagengneis	Lagenförmig	
Gemeiner Gneis	Plan und Parallel	
Körniger Gneis	Massig	Granitisch
Körnig-flaseriger Gneis	} Flaserig	
Flaseriger Gneis		
Schieferiger Gneis	Schieferig	
Stengelgneis	Stengelig	
Porphyrtiger Gneis	Plan und Parallel	Porphyrtig
Augengneis	Flaserig	Porphyrtig
Konglomeratgneis		mit Geröllen
Dichter Gneis	Massig	Granitisch und feinkörnig
Hälleflinta	Lagenförmig	Dicht

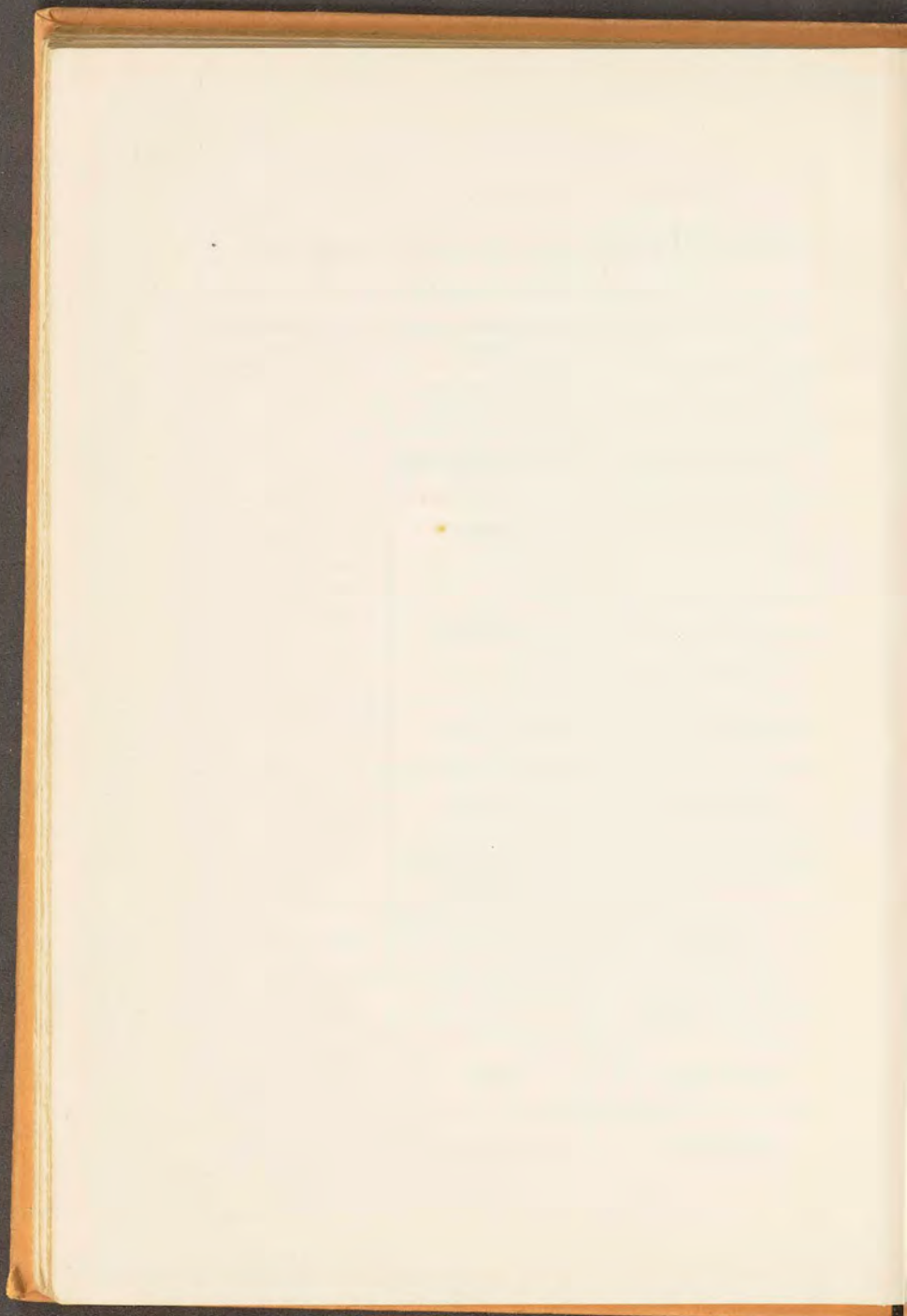


Tabelle 21.

**Geologische Formationen.**

Gruppe	Formation	Unterabteilungen
Känozoische Formations- gruppe	Alluvium	Heutige Bildungen
	Diluvium	Postglazial — III. Glazial — 2. Interglazial — II. Glazial — 1. Interglazial — I. Glazial
	Tertiär	Pliozän — Miozän — Oligozän — Eozän
Mesozoische Formations- gruppe	Kreide	Senon — Turon — Zenoman — Gault — Neokom
	Jura	Weißer Jura oder Malm Brauner Jura oder Dogger Schwarzer Jura oder Lias
	Trias	Keuper — Muschelkalk — Buntsandstein
Paläozoische Formationsgruppe	Dyas oder Perm	Zechstein — Rotliegendes
	Karbon- oder Stein- kohlenformation	Produktive Kohle — Untere Kohle (Kulm), Kohlenkalk
	Devon	Ober-, Mittel-, Unterdevon
	Silur	Ober-, Untersilur
	Kambrium	
	Präkambrium oder Algonkium	
Archaisches oder Azoisches Gebirge	Grundgebirge	Kristalline Schiefergesteine

## Erklärung der Abbildungen der wichtigsten Strukturarten.

---

1. **Hypidiomorph-körnige oder granitisch-körnige Struktur.** Farbige Gemengteile (im Bilde dunkel) erstes Ausscheidungsprodukt, dann Feldspat (trübe), zuletzt Quarz (hell). Die ersteren teilweise von eigenen Kristallflächen begrenzt. (Amphibolbiotitgranit.) Vergrößerung 15fach.
2. **Panidiomorph-körnige Struktur.** Feldspat (trübe) und Quarz (hell) sind meist von eigenen Kristallflächen begrenzt. (Aplit.) Vergr. 20.
3. **Holokristallin-porphyrische Struktur.** Quarz (hell) und Feldspat (trübe) in zwei Generationen, als Einsprenglinge und in der Grundmasse. (Dacit.) Vergr. 15.
4. **Hypokristallin-porphyrische Struktur.** Feldspat (hell) und Augit (etwas dunkler) in zwei Generationen, als Einsprenglinge und in der Grundmasse. In dieser außerdem reichliche Glasbasis. (Melaphyr.) Vergr. 15.
5. **Ophitische oder diabasisch-körnige Struktur.** Die Feldspäte (hell) idiomorph und vor dem allotriomorphen, die Zwischenräume erfüllenden Augit (dunkel) ausgeschieden. (Diabas.) Vergr. 25.
6. **Breccie.** Eckige Bruchstücke mit feinkörnigem Bindemittel. (Marmor.) Nat. Gr.
7. **Konglomerat.** Gerundete Gerölle in feinkörnigem bis dichtem Bindemittel. (Puddingstein.) Nat. Gr.
8. **Sandstein.** Gerundete Sandkörner (Quarz) in dichtem oder feinkörnigem Bindemittel. (Buntsandstein.) Vergr. 20.
9. **Oolith.** Konzentrisch schalige oder radialfaserige Kügelchen von Kalkspat in (kalkigem) Bindemittel. (Aus dem Muschelkalk.) Vergr. 15.

10. **Knotenschiefer.** Obere Hälfte: Anhäufung von dunklem Pigment mit Beginn der Kristallisation. (Tonschiefer.) Vergr. 30  
Untere Hälfte: Helle Knoten aus neukristallisiertem Feldspat bestehend. (Grauwackenschiefer.) Vergr. 5.
11. **Quarzit.** Mosaikartig ineinandergreifende Quarzkörner. Vergrößerung 20. Nic. +.
12. **Andalusithornfels.** Hornfelsstruktur. Andalusit, Quarz (ganz helle Grundmasse) und Biotit (dunkel). Vergr. 30.
13. **Verdrückter Pegmatit;** Kataklasstruktur. Feldspat und Quarz zerdrückt und zersprungen. Nic. +. Undulöse Auslöschung. Vergr. 30.
14. **Verdrückter Pegmatit.** Sehr starke Kataklaste am Pegmatit. Ein großes Turmalinbruchstück mit zahlreichen kleinen Quarzbruchstücken in sehr feinkörnigem, plan- und paralleltexturiertem, gefaltetem Mörtel. Vergr. 30.
15. **Augengneis.** Große Feldspatkörner von einem zertrümmerten, feinkörnigen Gemenge von Quarz und Feldspat mit Glimmer flaserförmig eingeschlossen. Nat. Gr.
16. **Glimmerschiefer.** Schichtig angeordnete Quarzkörner von Glimmerfasern durchzogen; einzelne Granatbruchstücke. Vergrößerung 20.





Fig. 2, Panidiomorph-körnige Struktur. Aplit.

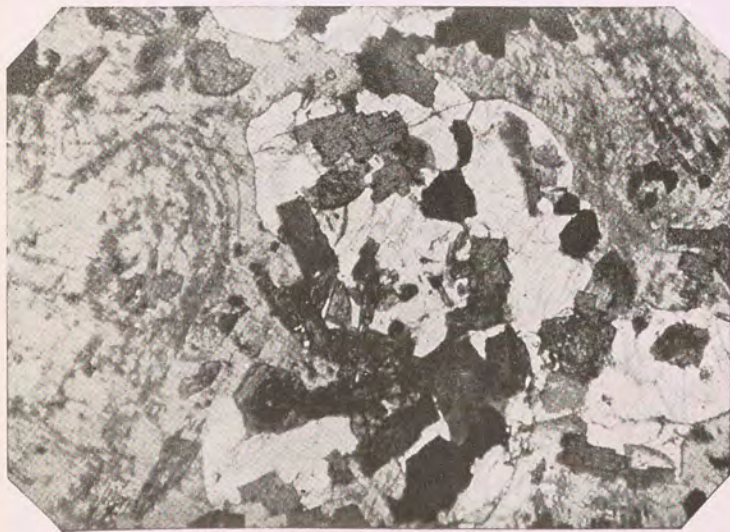


Fig. 1, Hypidiomorph-körnige Struktur. Granit.

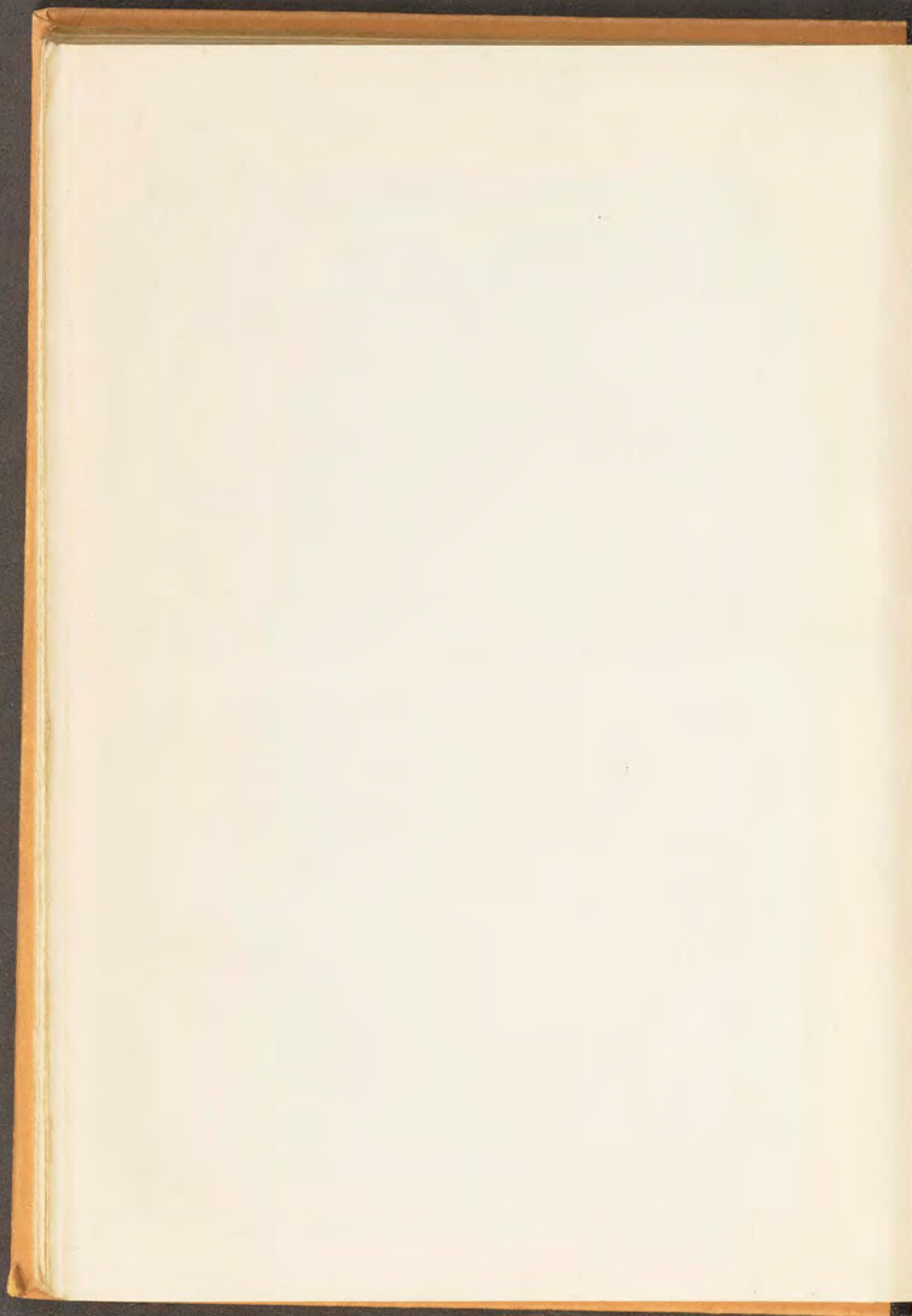
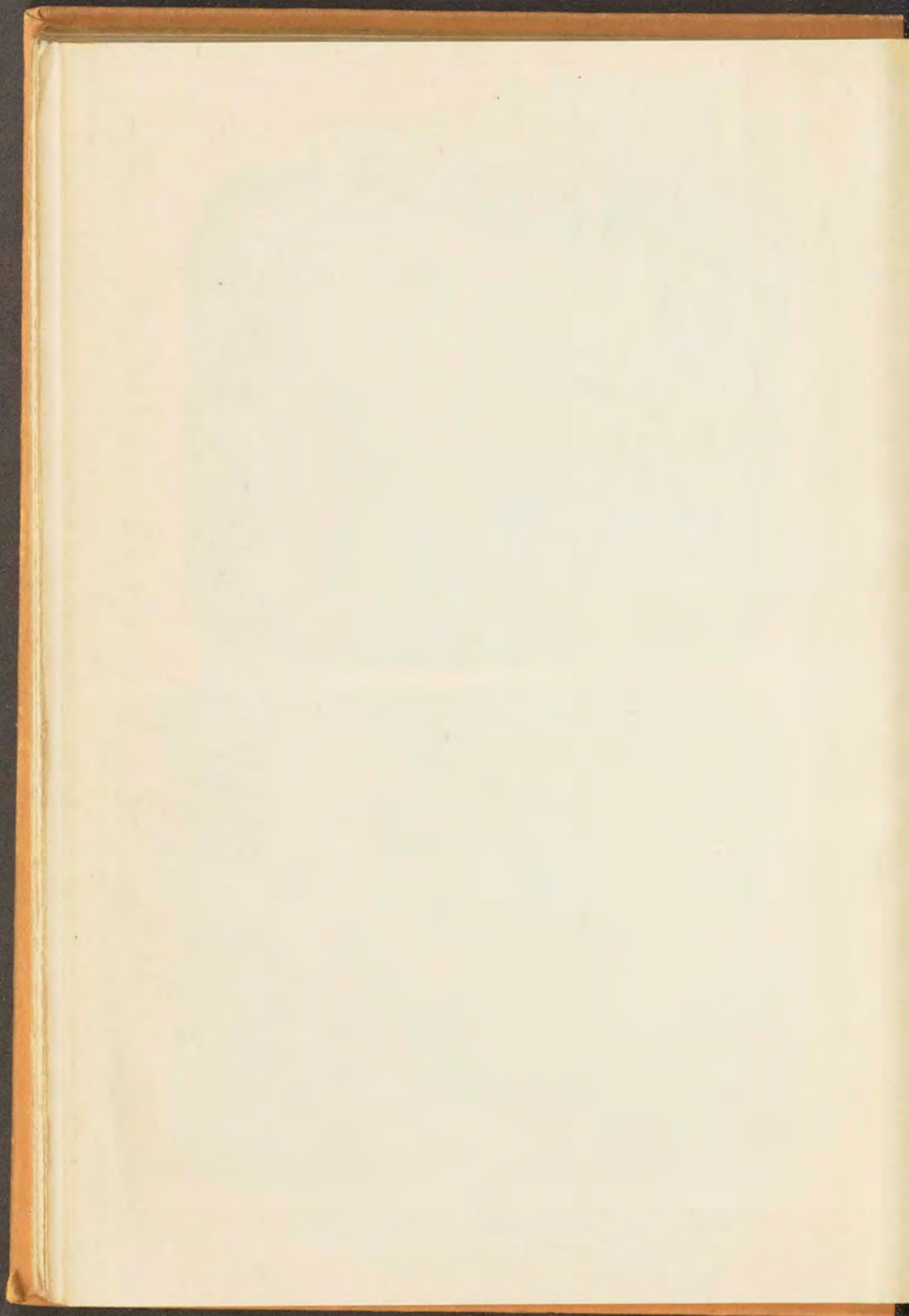




Fig. 3. Holokristallin-porphyrische Struktur. Dacit.



Fig. 4. Hypokristallin-porphyrische Struktur. Melaphyr.



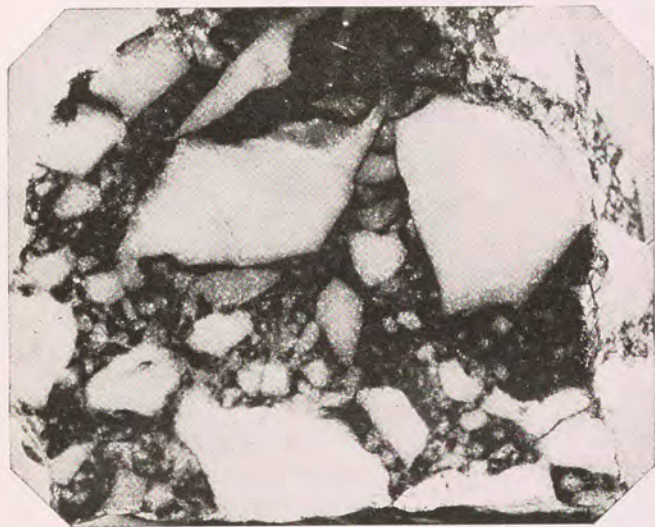
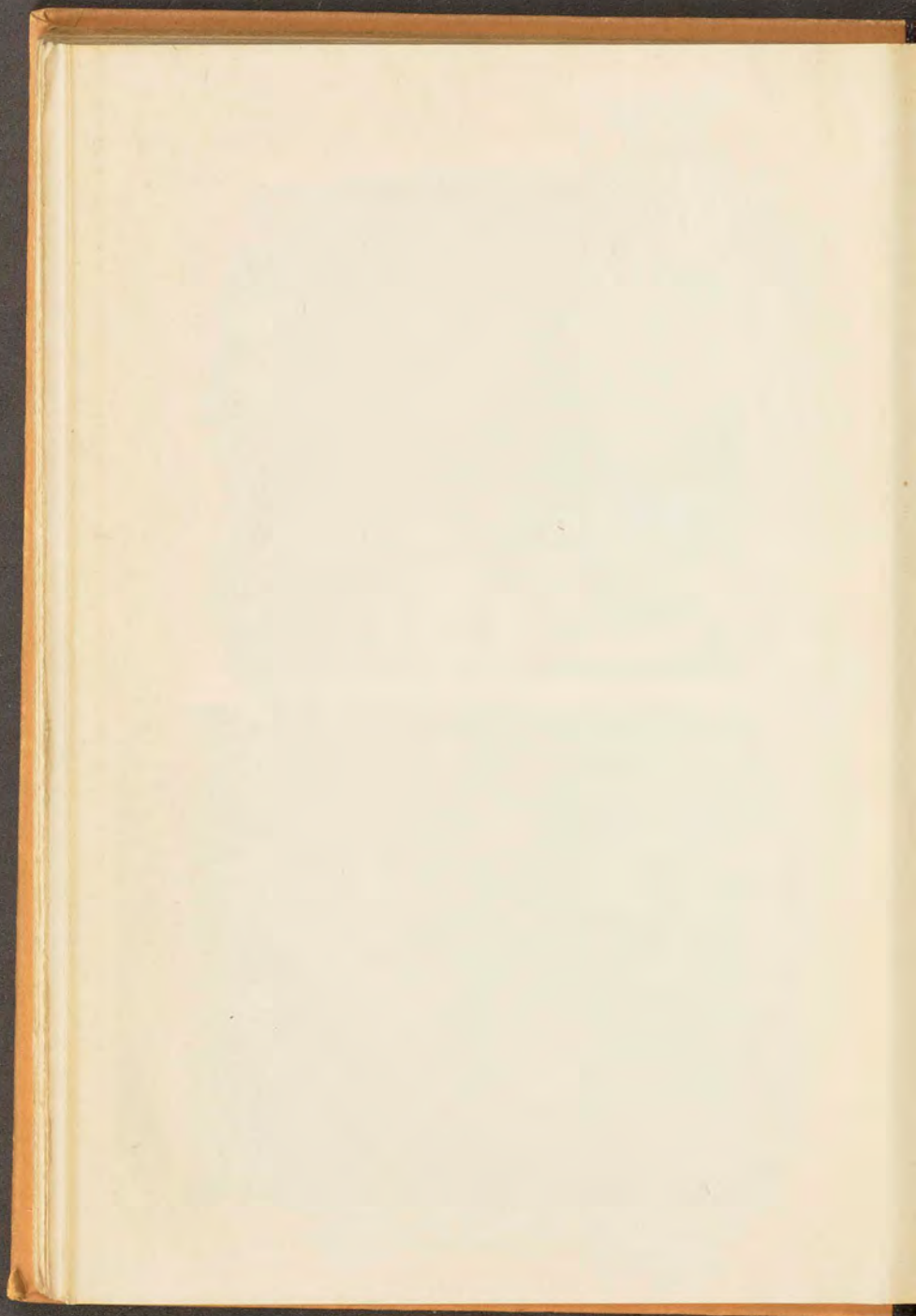


Fig. 6. Breccie. Marmor



Fig. 5. Diabasisch-körnige Struktur. Diabas.



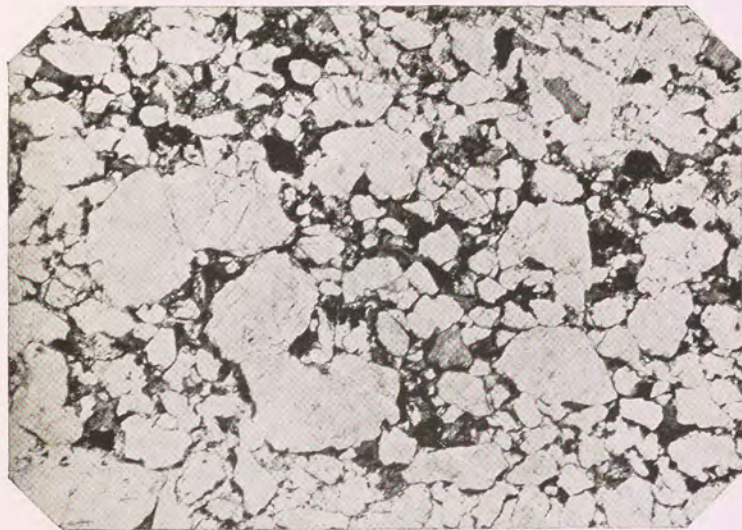


Fig. 8. Sandstein.

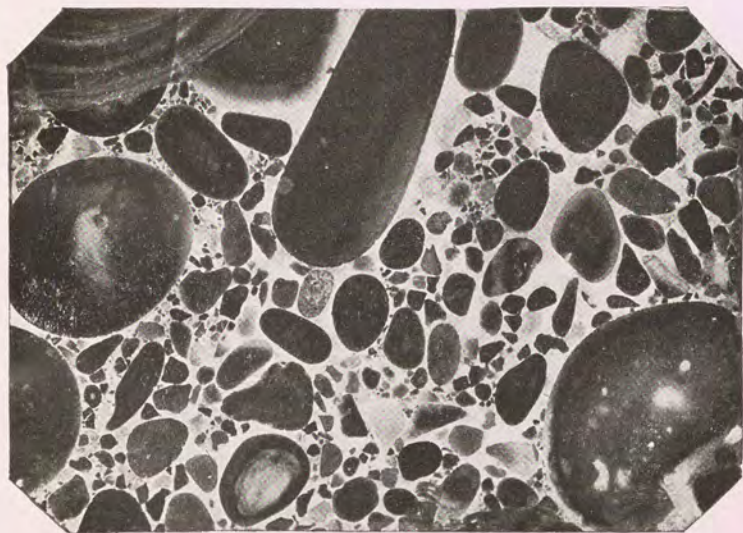
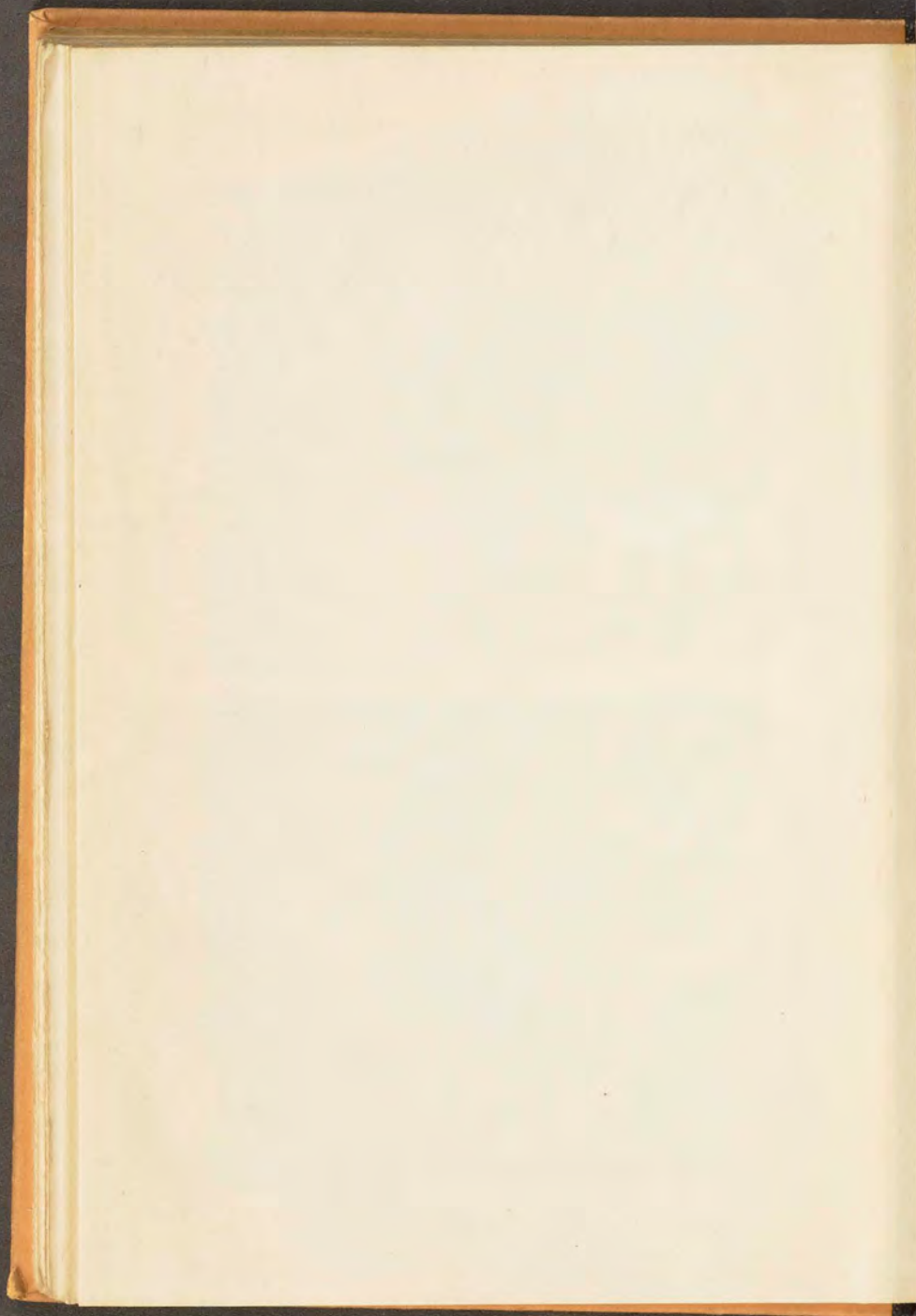


Fig. 7. Konglomerat. Puddingstein.



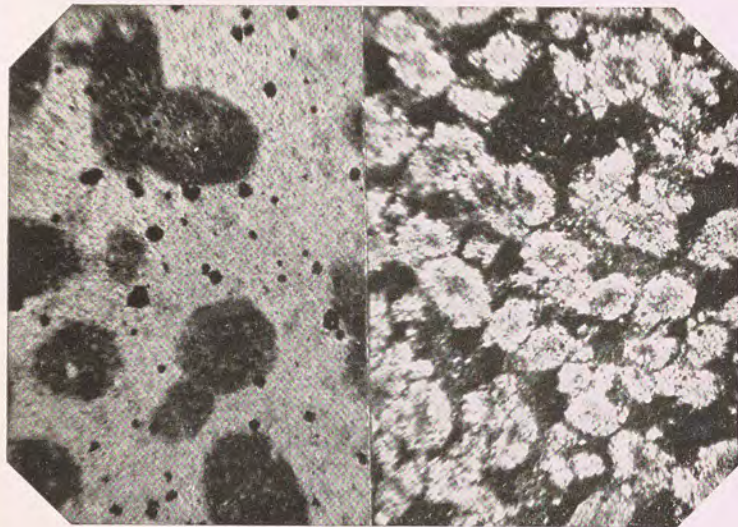


Fig. 10. Zweierlei Knotenschiefer.



Fig. 9 Oolith, Rogenstein.

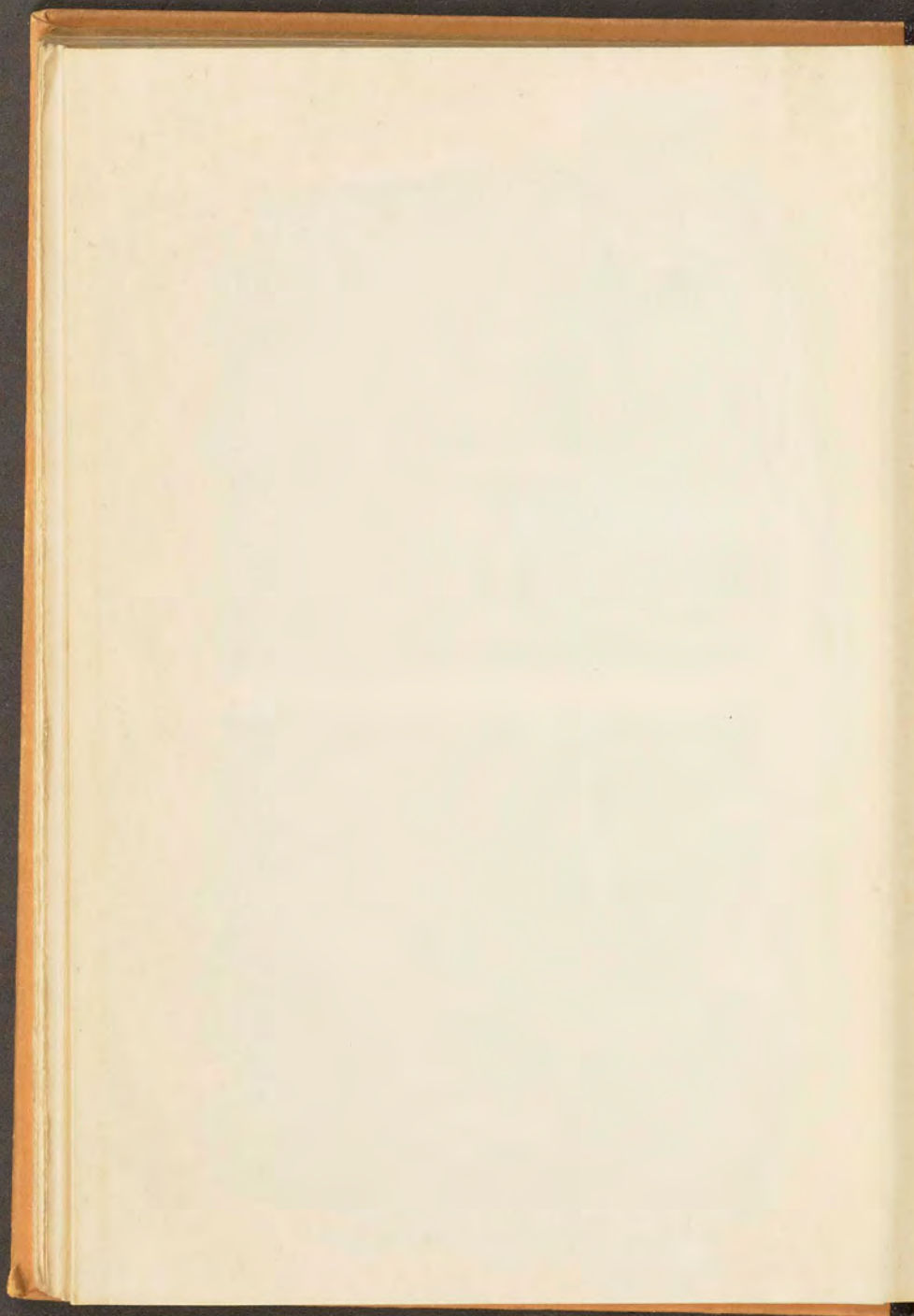




Fig. 12. Andalusithornfels.

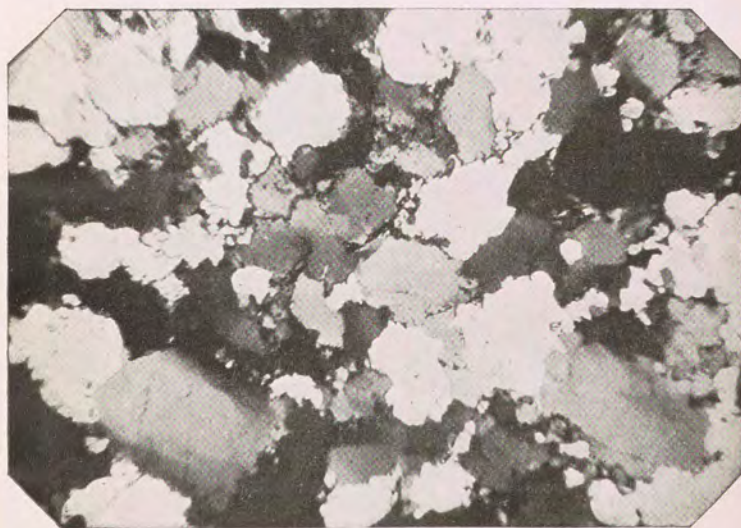


Fig. 11. Quarzit Mosaikstruktur.

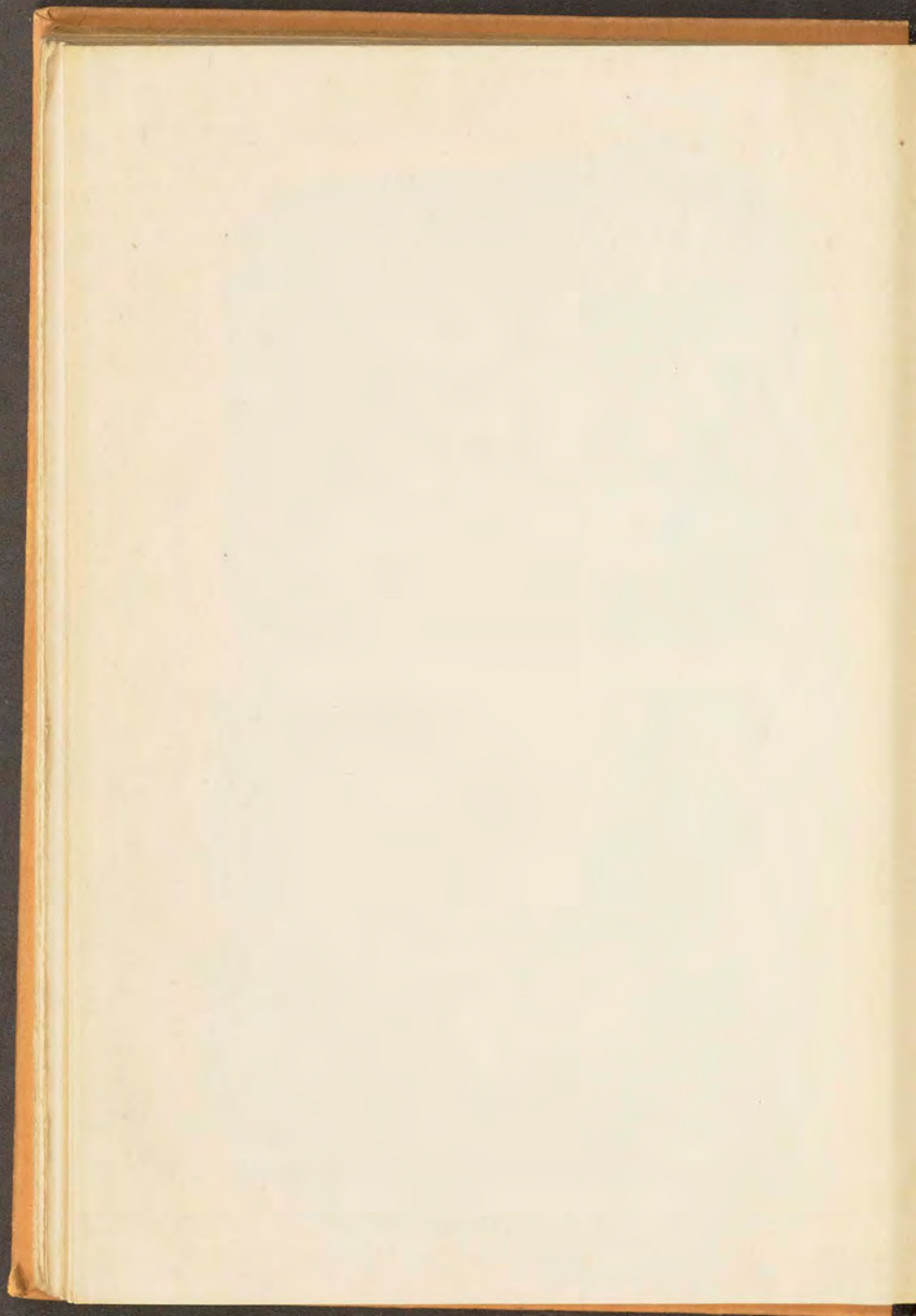




Fig. 14. Sehr starke Kataklasstruktur. Pegmatit.



Fig. 13. Kataklasstruktur. Pegmatit.

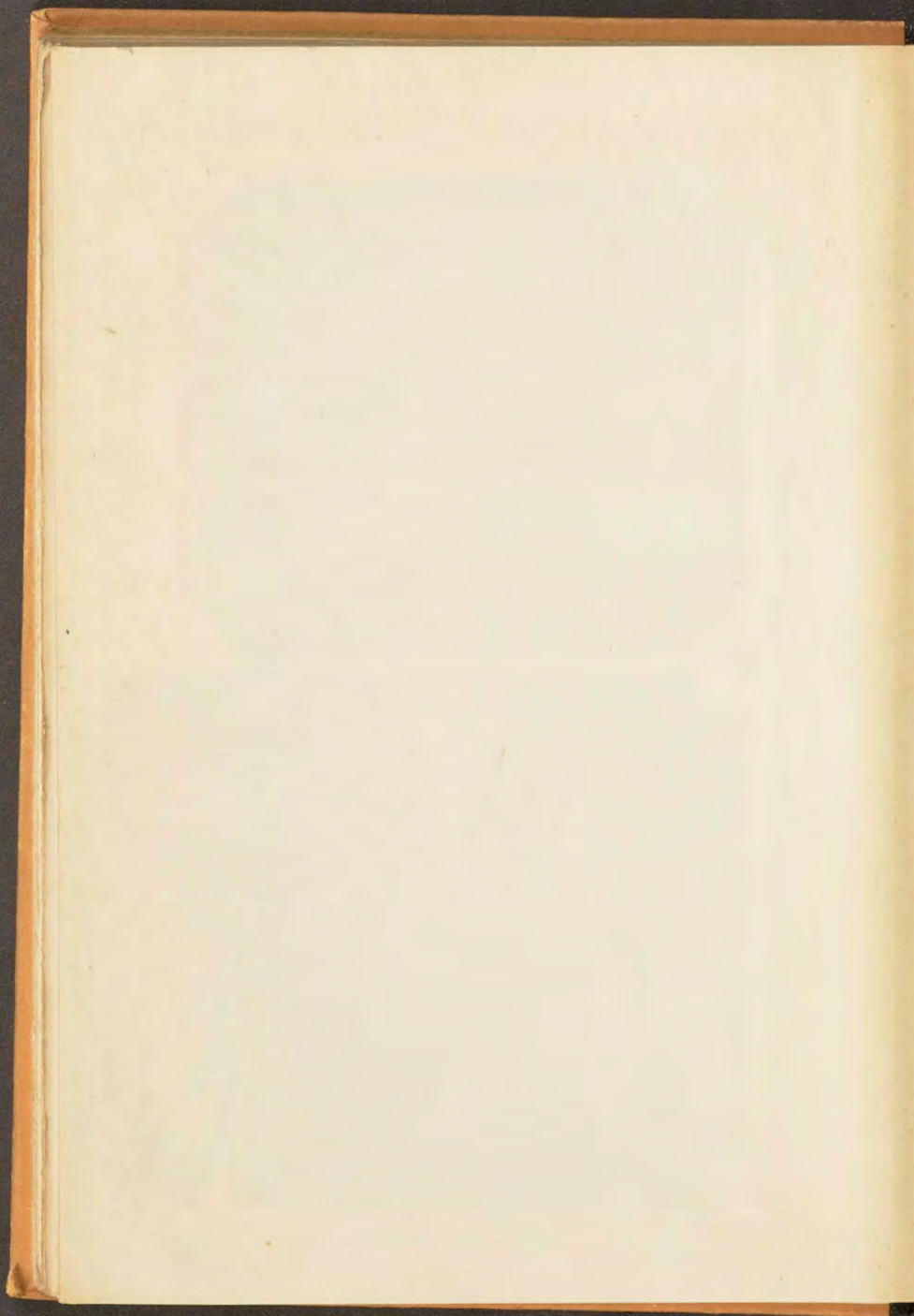
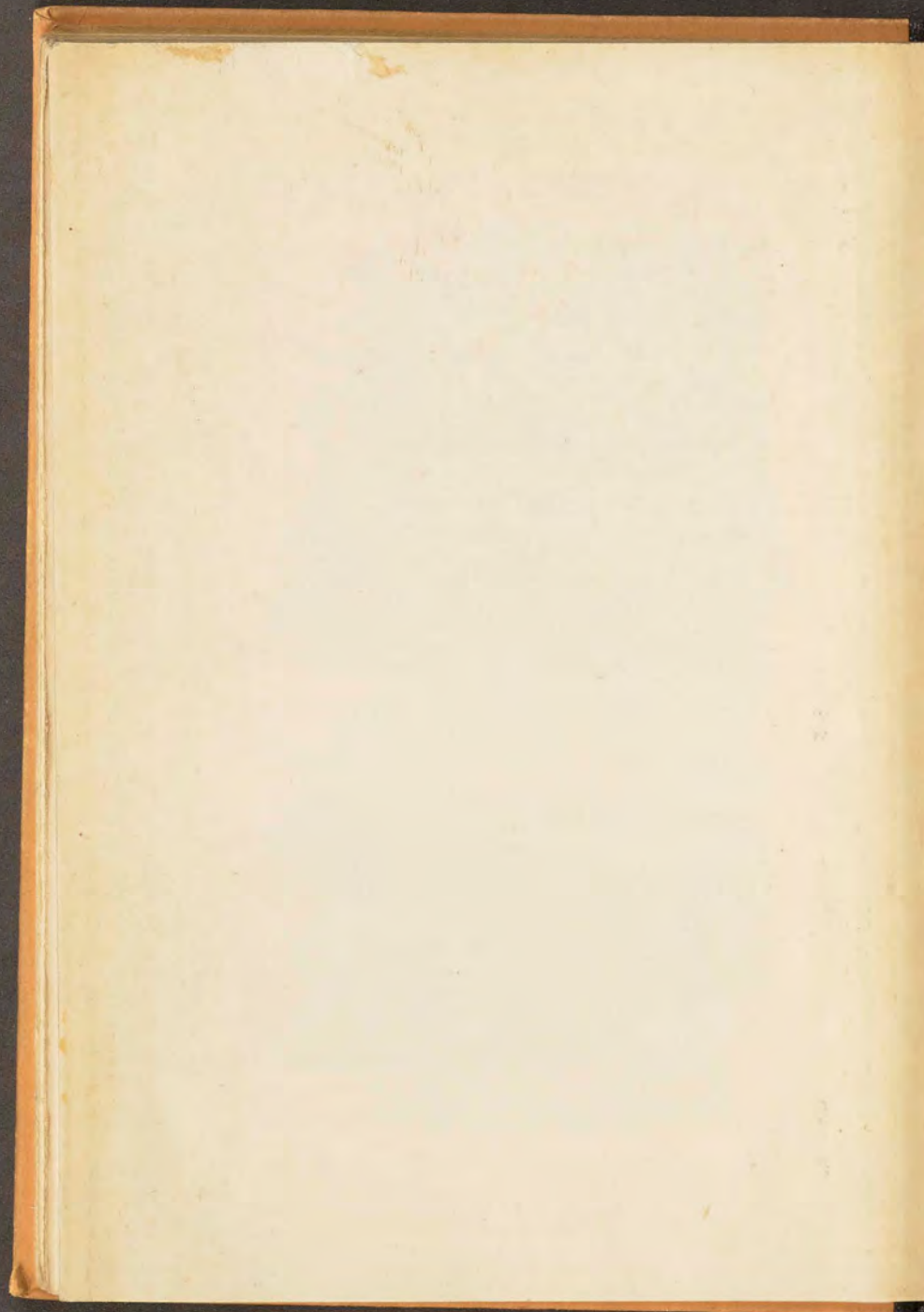




Fig. 16. Glimmerschiefer, Plan- und Paralleltexur.



Fig. 15. Augengneis, Struktur porphyryartig,  
Textur faserig.



**Verlag von Gustav Fischer in Jena.**

*Die angegebenen Preise sind die im November 1921 gültigen. — Die Preise für gebundene Bücher sind bis auf weiteres unverbindlich.*

**Fortschritte der Mineralogie, Kristallographie und Petrographie.** Herausgegeben im Auftrag der Deutschen Mineralog. Gesellschaft von Dr. **G. Linck**, o. ö. Prof. für Mineralogie und Geologie an der Universität Jena.

1. Bd.: Mit 53 Abbild. im Text. IV, 290 S. gr. 8° 1911 Mk 36.—
  2. Bd.: Mit 23 Abbild. im Text. IV, 304 S. gr. 8° 1912 Mk 42.—
  3. Bd.: Mit 26 Abbild. im Text. IV, 320 S. gr. 8° 1913 Mk 40.—
  4. Bd.: Mit 23 Abbild. im Text. IV, 384 S. gr. 8° 1914 Mk 50.—
  5. Bd.: Mit 43 Abbild. im Text. III, 324 S. gr. 8° 1916 Mk 46.—
  6. Bd.: Mit 46 Abbild. im Text. IV, 245 S. gr. 8° 1920 Mk 30.—
- Preis für Band I—VI: Mk 244.—

**Abriß der Erzlagerstättenkunde.** Von Prof. Dr. **A. Bergeat**, Direktor des Mineralogischen Instituts der Universität Königsberg. Mit 26 Abbildungen im Text. (Abdruck aus „Handwörterbuch der Naturwissenschaften“. Bd. III.) VI, 110 S. kl. 8° 1913 Mk 10.—

Technische Blätter, Nr. 28 vom 12. Juli 1913:

Der vorliegende Abriß der Erzlagerstättenkunde ist eine gedrängte Zusammenfassung über alles Wissenswerte aus diesem Gebiet. Neues wird in dem kleinen Heft nicht gebracht. Wem aber die Anschaffung des großen Werkes von Stelzner-Bergeat zu hohe Kosten verursacht, sei nachdrücklich auf dies kleine Werk hingewiesen.

**Vorlesungen über die chemische Gleichgewichtslehre und ihre Anwendung auf die Probleme der Mineralogie, Petrographie und Geologie.** Von **Robert Marc**, a. o. Prof. an der Universität Jena. Mit 144 Abbild. i. Text. VI, 212, S. gr. 8° 1911 Mk 20.—

**Beiträge zur Geschichte des Kupfers, insbesondere seiner Gewinnung und Verarbeitung.** Von Dr. **Alfred Fleck**. VI, 60 S. gr. 8° 1908 Mk 6.40

**Über den Ursprung der ersten Metalle, der See- und Sumpferzverhüttung, der Bergwerkindustrie und ihrer ältesten Organisation in Schweden.** Eine prähistorisch- und historisch-ökonomische Abhandlung. Von **Carl Max Maedge**, Dr. der Staatswissenschaften, Syndikus der Handelskammer zu Flensburg. (Probleme der Weltwirtschaft. Herausgegeben von Prof. Dr. B. Harms, Kiel. H. 25.) XIII, 166 S. Lex.-8° 1916 Mk 26.—

**Carl von Linné als Mineralog.** Von **R. Sjögren**. 42 S. gr. 8° 1909 Mk 7.60

**Carl von Linné als Geolog.** Von **A. G. Nathorst**. Mit 10 Abbildungen im Text und 2 Tafeln. 90 S. gr. 8° 1909 Mk 18.—

**Grundlagen und Methoden der Paläogeographie.** Von Dr. **Edgar Dacqué**, Privatdoz. an der Univ. München. Mit 79 Abb. im Text u. 1 Karte. VII, 499 S. gr. 8° 1915 Mk 56.—, geb. Mk 72.—

**Vorschule der Geologie.** Eine gemeinverständliche Einführung und Anleitung zu Beobachtungen in der Heimat. Von **Johannes Walther**, Prof. der Geologie und Paläontologie. Siebente, ergänzte Auflage. Mit 123 Originalzeichnungen, 134 Aufgaben, nebst Literaturverzeichnis für Exkursionen und einem Wörterbuch wichtiger Fachausdrücke. VIII, 262 S. kl. 8° 1920 Mk 18.—, geb. 24.—

**Allgemeine Gebirgskunde.** Von Dr. **Otto Wilckens**, vordem o. Prof. der Geologie und Paläontologie und Direktor des geologisch-paläontolog. Instituts der Kaiser Wilhelm-Universität Straßburg, Mitglied des Beirats der Geolog. Landesanstalten von Elsaß-Lothringen. Mit 115 Abbildungen im Text. VI, 154 S. gr. 8° 1919 Mk 20.—, geb. Mk 25.—

Inhalt: 1. Einleitung. 2. Das Baumaterial der Gebirge. 3. Die Teilung des Gebirges und seine Gliederung. 4. Gebirgssysteme. 5. Die Einteilung der Gebirge. 6. Die vulkanischen Gebirge. 7. Die tektonischen Gebirge. 8. Erosionsgebirge. 9. Die geographische Verteilung der Gebirge. 10. Die Ursachen der Gebirgsbildung. 11. Literatur. 12. Erklärung der geologischen Fachausdrücke. 13. Register.

**Grundzüge der tektonischen Geologie.** Von Dr. **Otto Wilckens**, a. o. Prof. der Geologie und Paläontologie an der Universität Jena. Mit 118 Abbildungen im Text. VIII, 113 S. gr. 8° 1912 Mk 14.—, geb. Mk 24.—

Inhalt: Morphologische Tektonik. — I. Die tangentialen Dislokationen. 1. Faltung. 2. Überschiebung. 3. Zweifache Faltung, diskordante Lagerung. 4. Erodierter Falten und Überschiebungsdecken. 5. Transversalverschiebungen. 6. Überschiebung ohne vorhergehende Faltung, Schollenüberschiebung, Spaltdecken, listrische Flächen. — II. Die radialen Dislokationen. 1. Die Flexur. 2. Die Verwerfungen.

**Revolutionen in der Erdgeschichte.** Eine akademische Rede, gehalten am 24. Juli 1920 entsprechend den Bestimmungen der Paul von Ritterschen Stiftung für phylogenetische Zoologie. Von Dr. **Wilfried von Seidlitz**, Inhaber der Häckelprofessur für Geologie und Paläontologie an der Universität Jena. Mit 3 Abbild. im Text u. 1 Tabelle. 42 S. gr. 8° 1920 Mk 8.—

**Temperatur und Zustand des Erdinnern.** Eine Zusammenstellung und kritische Beleuchtung aller Hypothesen. Von Dr. **Hermann Thiene**, Assistent am Mineralog. Institut der Universität Jena. VII, 203 S. gr. 8° 1907 Mk 10.—

**Einführung in die Erdbeben- und Vulkankunde Südtaliens.** Von **August Sieberg**, technischer Sekretär der Hauptstation für Erdbebenforschung in Straßburg i. Els. Mit 2 farbigen Ansichten, sowie 67 Abbildungen und Karten im Text. VI, 226 S. 8° 1914 Mk 16.—